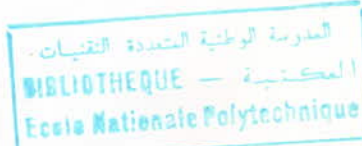


وزارة التعليم والبحث العلمي  
MINISTERE DE L'ENSEIGNEMENT ET DE LA RECHERCHE SCIENTIFIQUE

## ECOLE NATIONALE POLYTECHNIQUE

DEPARTEMENT MÉCANIQUE



RECHAK

## PROJET DE FIN D'ETUDES

EN VUE DE L'OBTENTION DU DIPLOME D'INGENIEUR D'ETAT

### S U J E T

Réalisation d'un T.P. pour  
l'analyse des poutres soumises  
en petites et grandes déformations

Proposé par :

Mr. RECHAK S.

Etudié par :

Mr. BENHEDADA M.

Dirigé par :

Mr. RECHAK S.

PROMOTION : JUIN 1987

وزارة التعليم العالي  
الدائرية المطمئنة المتعددة التقنيات  
فرع الحندسة الميكانيكية  
المؤجر: سهادق سعيد  
الطالب: بن عدادة محمد

Ministère de l'enseignement supérieur  
Ecole nationale polytechnique  
Département: Génie Mécanique  
Promoteur: RECHAK Saïd  
Elève ingénieur: BENHEDADA.M

**الموضوع:** إنجاز عمل تطبيقي للعتبات في حالة الاعباءات الصغيرة والكبيرة

**الملخص:** يهدف هذا العمل إلى إنجاز عمل تطبيقي للعتبات في حالة الاعباءات الصغيرة والكبيرة ومن أجل هذا قمنا بطرز دفتين لخبريتين لحساب مقادير الاعباءات، بالنسبة للاعباءات الصغيرة قمنا بمقارنته النتائج التجريبية بالنتائج النظرية "طريقة مقاومة المواد" وبالنسبة للاعباءات الكبيرة، قارنا النتائج التجريبية بالنتائج العددية "طريقة الفروق المحدودة" لبيكار.

**Sujet:** Réalisation d'un T.P pour l'analyse des poutres soumises à des petites et grandes déformations.

**Résumé:** L'objet de notre travail consiste à mettre en place un T.P pour l'analyse des poutres soumises à des petites et grandes déformations. Pour cela deux méthodes expérimentales ont été établies; pour les petites déformations, les résultats expérimentaux sont comparés aux valeurs théoriques; pour les grandes déf. les mesures expérimentales sont comparées aux résultats numériques par la méthode des différences finies de PICARD.

**Subject:** Designing an experiment to analyse beams under small and large def.

**Abstract:** The object of this study consistses on desining an experimentation in order to analyse beams under small and large deformations. for this, two experimental methodes have been established; for the cas of small deformations, experimental results are compared to theoretical results, for the cas of large deformations the experimental results are compared to numerical results given by a devloped finite difference program (PICARD's methode)

بِسْمِ اللَّهِ الرَّحْمَنِ الرَّحِيمِ  
وَلِمَنْ يُصْلَدُونَ  
وَسَبَقَهُ مُحَمَّدٌ  
وَكَفَى بِاللَّهِ  
رَبِّ الْعَالَمِينَ

## DEDICACES

(o)

Je dédie ce modeste travail à :

- La mémoire de mon père
- Ma mère
- Mes Frères et Soeurs .
- Toute la Famille
  
- Tous ceux qui témoignent qu'il n'y a de dieux  
qu'ALLAH et que MOHAMMED est son  
envoyé et son prophète .

B. Mohamed

## REMERCIEMENT

Je tiens à exprimer ma profonde gratitude et mes vifs remerciements à mon promoteur : monsieur Rechak Saïd qui a eu l'aimable sollicitation de me suivre dans ce travail, ainsi que tous les enseignants qui ont contribué à ma formation.

Que tous ceux qui ont participé de près ou de loin à la réalisation de ce projet trouvent ici ma sincère gratitude.

B. mohamed

22

23

# TABLE DES TABLEAUX

Tableau II-1 : Comparaison entre les valeurs de M et T cas d'une section rectangulaire .....	14
Tableau III-2 " " " " cas d'une poutre en I .....	15
Tableau 1 : Resultats theoriques des deformees - acier etire' .....	24
Tableau 2 : " experimentaux " .....	25
Tableau 3 : Resultats theoriques des deformees - acier doux .....	26
Tableau 4 : " experimentaux " " " .....	27
Tableau 5 : Resultats theoriques des deformees - latex ....	28
Tableau 6 : " experimentaux " " .....	29
Tableau 7 : Resultats experimentaux des trois metaux par la methode directe .....	30
Tableau 8 : " " " " " .....	31
Tableau III-1 : comparaison entre les valeurs theoriques et les mesures experimentales par un compareur .....	46
Tableau III-2 " " " " " .....	47
Tableau III-3 comparaison entre les valeurs theoriques et les mesures experimentales par la methode directe ...	48
Tableau 9 : Resultats theoriques des deformees - Acier special ....	60
Tableau 10 : " experimentaux " .....	61

## TABLE DES FIGURES

Figure I-1 : flexion plane	3
Figure I-2 : Flexion divisé	5
Figure I-3 : Flexion composée	7
Figure II-1 : poutre soumise à un système de charge	9
Figure II-2 : poutre avant application des charges	10
Figure II-3 : poutre après	10
Figure II-4 : considération géométrique	11
Figure II-5 : Flèche après application des charges	16
Figure III-1 : schéma d'enca斯特rement	20
Figure III-2 : mesure par un comparateur	22
Figure III-3 : mesure par la méthode directe	23
Figure III-4 : comparaison entre les valeurs théoriques et les mesures expérimentales - matériau faiton	32
Figure III-8 : " " " " " "	
" " " " " " - matériau acier doux	36
Figure III-12 : " " " " " "	
" " " " " " - matériau acier éliré	40
Figure III-16 : les déplacements de la poutre - Méthode directe	49
Figure IV-1 : poutre soumise à des grandes déformations	50
Figure IV-2 : Définition des angles	51
Figure IV-3 : Représentation de la poutre en parties	53
Figure VI-1 : comparaison entre les valeurs théorique et les mesures expérimentales des grandes déformations	63

# TABLE DES MATIERES

INTRODUCTION . . . . .	1
CHI. GENERALITES . . . . .	3
I-1 : Flexion plane . . . . .	3
I-2 : Flexion divisée . . . . .	5
I-3 : Flexion Composée . . . . .	7
CHII. ETUDE THEORIQUE DES PETITES DEFORMATIONS . . . . .	9
II-1 : Equation differentielle de la ligne élastique . . . . .	10
II-2 : Effet de l'effort tranchant . . . . .	13
II-3 : Utilisation de l'équation de la ligne élastique . . . . .	16
II-4 : Méthode d'intégration de l'équation de la ligne élastique . . . . .	17
CHIII. ETUDE EXPERIMENTALE DES PETITES DEFORMATIONS . . . . .	19
III-1 : Schéma du banc d'essai . . . . .	19
III-2 : Description du banc d'essai . . . . .	20
III-3 : Mode opératoire . . . . .	22
III-3-1: Relevé des mesures à l'aide d'un comparateur . . . . .	22
III-3-2: Relevé des mesures par la méthode directe . . . . .	23
III-4 : Commentaire des résultats . . . . .	44
III-4-1 : mesure par un comparateur . . . . .	46
III-4-2 : mesure par la méthode directe . . . . .	48

## CH. IV. ETUDE THEORIQUE DES GRANDES DEFORMATIONS . . . . .

الكتبة المركبة  
BIBLIOTHEQUE — المكتبة  
Ecole Nationale Polytechnique

50

IV-1. Equation differentielle de la ligne élastique . . . . .	51
IV-1-1: " " en $\theta$ . . . . .	52
IV-1-2: " " en $\phi$ . . . . .	53
IV-2 : Détermination des déplacements verticaux et déplacements horizontaux . . . . .	57

## CH. V. ETUDE EXPERIMENTALE DES GRANDES DEFORMATIONS . . . . .

V-1 : Mode opératoire . . . . .	59
V-2 : Commentaire des résultats . . . . .	63

CONCLUSION . . . . .  
BIBLIOGRAPHIE . . . . .

# NOTATIONS UTILISÉES



T: effort tranchant

N: " normal

M: moment de flexion

$\sigma$ : contrainte normale

$\tau$ : contrainte tangentielle

$\epsilon$ : déformation linéaire relative

I: moment d'inertie [mm<sup>4</sup>]

E: module de young [daN/mm<sup>2</sup>]

$\alpha$ : l'angle entre l'horizontale et la ligne d'action d'effort

$\theta$ : " " " la tangente à la ligne neutre et " "

$\phi$ : " " " " " et l'horizontale

P: la charge

L: la portée de la poutre

y: la déformée

u: déplacement axial

v: déplacement vertical

# INTRODUCTION

المدرسة الوطنية للعلوم الفيزيائية  
BIBLIOTHEQUE — المكتبة  
Ecole Nationale Polytechnique

Dans beaucoup de cas, les chercheurs étudient les structures quand celle-ci sont soumises à des petites déformations où les lois de l'élasticité sont applicables. Dans cette étude, on s'intéresse plus aux grandes déformations des structures.

On a considéré comme modèle simple le cas des poutres encastrées de différentes matériaux soumises à une charge à l'extrémité libre.

L'étude consistait à réaliser une expérience, relever des mesures expérimentales et de vérifier les résultats pratiques par des résultats numériques.

Contrairement aux grandes déformations, la théorie simple prédict avec exactitude les résultats expérimentaux des petites déformations.

Dans le cas des déformations larges, les termes non linéaires ont été inclus et on a abouti à une équation différentielle non linéaire

cette dernière a été numériquement intégrée en utilisant la méthode de Picard. les résultats obtenus paraissent très satisfaisante pour la prediction des grandes déformations des structures.

# I. GENERALITÉS

Les éléments de machine sont généralement soumis à différents types d'efforts. Particulièrement les structures en élément poutre sont plutôt soumises à la flexion. Dans ce chapitre une brève description des trois types de flexions est présentée.

## I-1 Flexion plane

on entend par flexion plane un mode de sollicitation tel que dans les sections droites de la poutre il existe deux composantes d'efforts internes. Le moment fléchissant et l'effort tranchant :  $M_z$  et  $T_y$ . On peut remarquer que la flexion plane a lieu, si toutes les forces externes appartiennent à l'un des plans principaux d'inertie. Et si elles sont perpendiculaires à l'axe central de la poutre. Ce plan est désigné par plan de force ou plan de charge

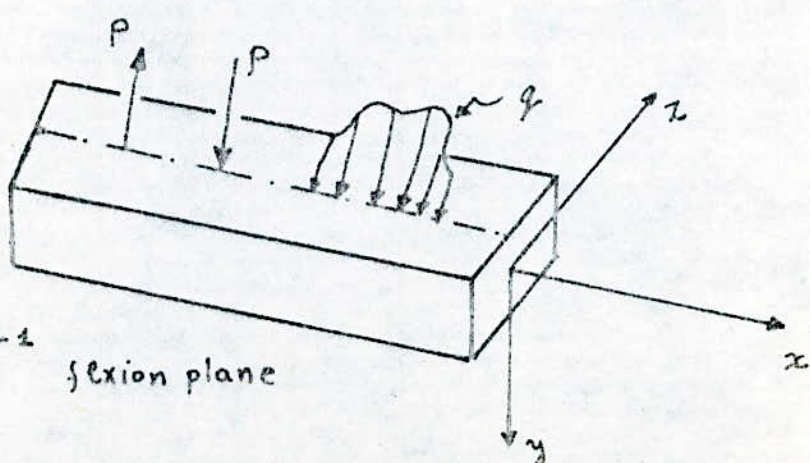


Fig: I-2  
flexion plane

### I-1-3 Contraintes

#### A- Contraintes Normales :

Les contraintes normales sont provoquées par le moment fléchissant . Dans le cas d'une flexion pure , les contraintes sont données par

$$\sigma_x = \frac{M_z}{I_z} \cdot y \quad \dots (1)$$

avec  $I_z$  : moment d'energie axial de la section droite

$x, y$  : sont les coordonnées cartésiennes du point étudié

Remarque :

La formule de Navier a été obtenue (pour la flexion pure) , à partir de l'hypothèse des sections planes . dans le cas de la flexion plane , les sections droites ne restent pas planes pendant la déformation . Cependant l'expérience montre que l'erreur , due à l'utilisation de la formule de Navier est petite et peut être négligée dans les calculs pratiques

#### B- contraintes tangentielle s :

les contraintes tangentielle s se caractérisent par la formule de Jeoravsky obtenue dans le cas d'une flexion plane de la poutre

$$\tau_{xy} = \frac{T_y}{I_z} \cdot \frac{m_z^w}{B} \quad \dots (2)$$

$B$ : Largeur de la fibre étudiée

$m_z^w$  : le moment statique de la surface  $w$  par rapport à l'axe  $Z$

## I-2. Flexion déviée

On entend par flexion déviée un mode de sollicitation pour lequel dans les sections droites de la poutre existent les moments fléchissants ( $M_y, M_z$ ) et les efforts tranchants ( $T_y, T_z$ ). C'est-à-dire il est possible de considérer la flexion déviée comme une action composée des flexions planes par rapport aux axes  $y$  et  $z$ .

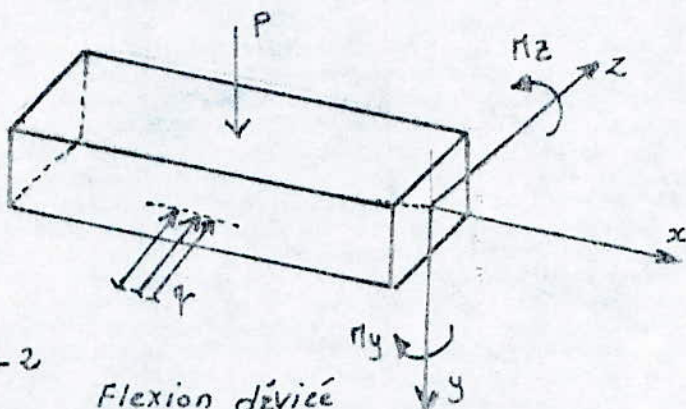


Figure I-2

Flexion déviée

La flexion déviée peut être effectuée par un système de charges croissant. L'axe central ( $x$ ) de la poutre est perpendiculaire à celui-ci. Donc il faut considérer les deux cas suivants

a - le cas général où les forces extérieures sont appliquées dans les différents plans de charges.

b - le cas particulier où toutes les forces extérieures appartiennent au seul plan de charge, qui ne coïncide pas avec l'un des plans principaux d'inertie

## I-2-2. Contraintes

### A- Contraintes normales :

Dans ce cas l'expression de  $\sigma_x$  est donnée par la formule suivante

$$\sigma_x = \frac{M_y}{I_y} z + \frac{M_z}{I_z} y \quad \dots \dots (3)$$

le signe de  $\sigma_x$  dépend des signes des moments fléchissants et du sens de coordonnées

### B - Contraintes tangentielles :

les efforts tangentielles sont donnés par la formule de Jouravsky

$$\tau_{xy} = \frac{T_y m_z^w}{I_z \cdot B} \quad \dots \dots (4)$$

B : la largeur de la fibre étudiée

w : la surface de la partie de la section droite située d'un côté de fibre étudiée

$M_z^w$  : le moment statique de la surface w par rapport à l'axe (Z)

la contrainte tangentielle résultante au point considéré peut être représentée. comme la somme géométrique des composantes obtenues

$$\tau = \sqrt{\tau_{xy}^2 + \tau_{xz}^2} \quad \dots \dots (5)$$

### I - 3 Flexion Composée

Une poutre est dite soumise à la flexion composée si elle est soumise simultanément à la flexion et à la traction (ou compression)

Dans le cas général s'appelle une flexion gauche composée

Dans une section droite il existe,  $N_x, T_y, M_z, T_z, M_y$

Dans le cas particulier s'appelle une flexion droite composée qui est caractérisée par une action commune de la traction (ou compression) et la flexion plane

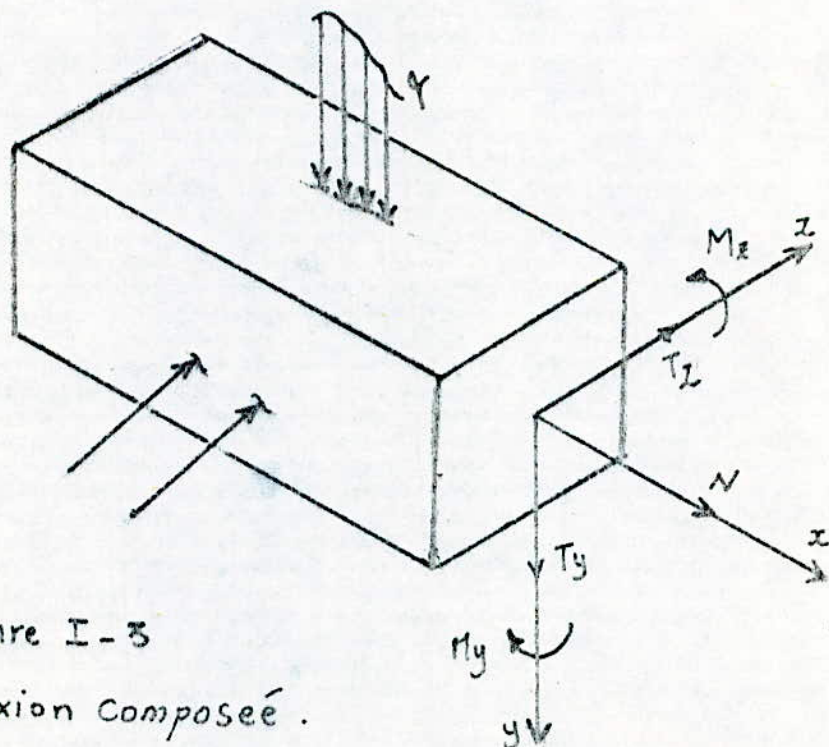


figure I - 3  
flexion Composée .

## I-3-2 Contraintes

### A- les contraintes normales :

les contraintes normales qui sont provoquées par  $N_x$ ,  $M_y$  et  $M_z$  sont données par la formule suivante

$$\sigma_x = \frac{N_x}{S} + \frac{M_y}{I_y} z + \frac{M_z}{I_z} y \quad \dots \quad (6)$$

Pour le cas d'une flexion droite composée

$$\sigma_x = \frac{N_x}{S} + \frac{M_z}{I_z} y \quad \dots \quad (7)$$

### B- les contraintes tangentielle :

les contraintes tangentielles sont données par la formule suivante

$$\tau_{xy} = T_y \frac{M_z \omega}{I_z \cdot B} \quad \tau_{xz} = \frac{T_z M_y \omega'}{I_y \cdot B} \quad \dots \quad (8)$$

la contrainte tangentielle résultante est:

$$\tau = \sqrt{\tau_{xy}^2 + \tau_{xz}^2} \quad \dots \quad (9)$$

### III. ETUDE THEORIQUE DES PETITES DEFORMATIONS

les lois qui vont être énoncées dans cette étude sont:

- la ligne moyenne  $L_m$  de la poutre est rectiligne
- la poutre admet un plan de symétrie
- les efforts extérieurs sont situés dans ce plan
- de plus, ces efforts doivent être perpendiculaire à ce plan
- les efforts et les couples appliqués ne devront faire apparaître en aucun point de la poutre des déformations permanentes.

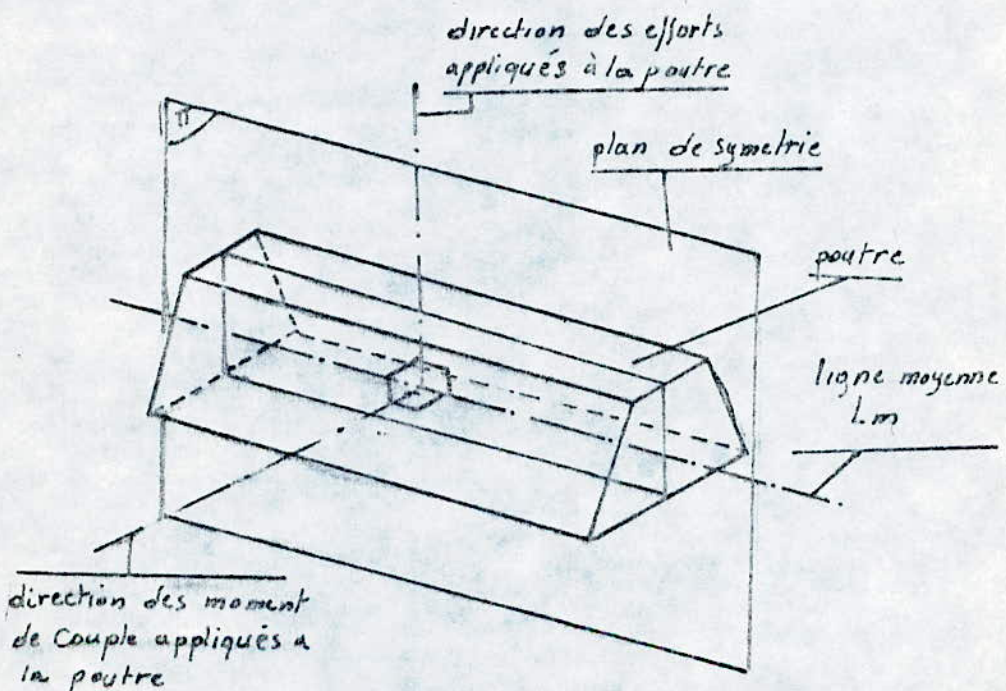


figure II-1 poutre soumises  
à un système de charges

## II-1 L'équation différentielle de la ligne élastique

Considérons une telle poutre soumise à un système de charges selon les hypothèses citées auparavant

figure II-2

poutre avant application des charges

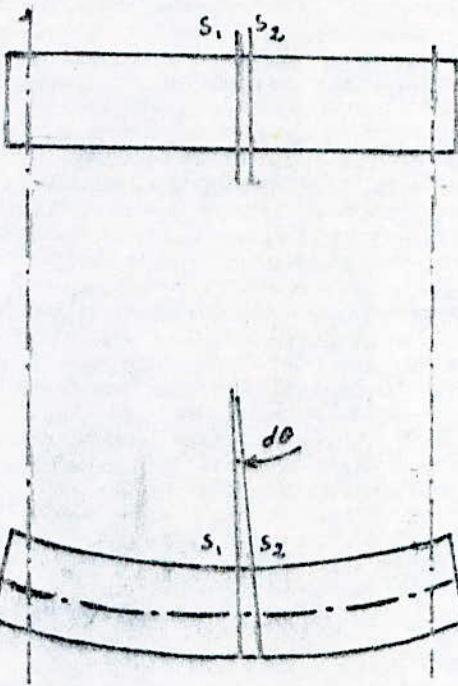


figure II-3

poutre après application des charges

D'après l'hypothèse de BERNOULLI selon laquelle toute section plane est perpendiculaire à la ligne moyenne avant déformation reste plane et perpendiculaire à la ligne moyenne après applications de charges.

Considérons deux sections planes normales à la ligne moyenne et séparées avant l'application des charges par une distance  $dx$ .

Après application des charges et par suite de la rotation des sections, les, contenant  $s_1$  et  $s_2$ , formant plans

11

un angle  $d\theta$ . la ligne moyenne s'est déplacée et est représentée par le trait mixte (voir figure II-3). Cette ligne qui s'est déformée élastiquement est appelée ligne élastique.

les sections  $S_1$  et  $S_2$  ont tourné. Dans le repère  $(O, \vec{x}, \vec{y})$ . Convenons que  $S_1$  reste immobile et que  $S_2$  se soit déplacé par rapport à  $S_1$ ,  $S_2$  est venue en  $S'_2$ . (voir figure

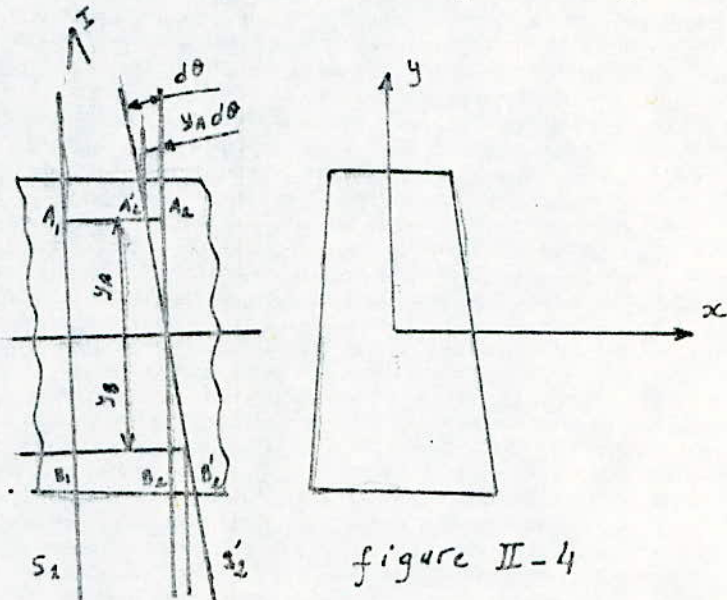


figure II-4

### Considération géométrique

- Un segment  $A_1 A_2$  s'est raccourci de la longueur  $A_2 A'_2$
- Un segment  $B_1 B_2$  s'est éloigné de la longueur  $B_2 B'_2$
- L'intervalle  $G, G_2$  n'a pas changé de longeur, il appartient à la ligne moyenne.

Soit  $I$  la trace de l'intersection des deux plan contenant  $S_1$  et  $S'_2$

$I_G$  est le rayon de la courbure de  $G_1, G_2$  qui représente un élément de la ligne moyenne élastique

$$I_G = R = \frac{dx}{d\theta} \dots (1)$$

Cherchons maintenant à évaluer la déformation relative longitudinale d'un segment tel que  $A, A_2$  ou  $B, B_2$ . Celle déformation élastique répond à la loi de Hooke et est due à la contrainte normale  $\sigma$

$$\sigma = E\varepsilon \dots (2)$$

Au dessus de  $G_1, G_2$   $y > 0$ . il vient  $\varepsilon = \frac{A_2 - A'_2}{A_1 - A_2} < 0$

$$\text{Soit } \varepsilon = -y_A \frac{d\theta}{dx} = -\frac{y_A}{R} = -\frac{|y_A|}{R} \dots (3)$$

Au dessous de  $G_1, G_2$   $y < 0$  il vient  $\varepsilon = \frac{B_2 - B'_2}{B_1 - B_2} > 0$

$$\text{Soit } \varepsilon = -y_B \frac{d\theta}{dx} = -\frac{y_B}{R} = \frac{|y_B|}{R} \dots (3')$$

d'une façon générale, on peut donc écrire  $\varepsilon = -\frac{y}{R}$

d'où  $\sigma = -E \cdot \frac{y}{R}$   $\sigma$  est la contrainte normale agissant sur  $S_1$

$$\text{or } \sigma = -\frac{M_z y}{EI_z} \dots (4)$$

D'où il vient en comparant ces deux expressions

$$\text{de la contrainte } \frac{1}{R} = \frac{M_z}{EI_z}$$

13

or analytiquement on sait que :

$$R = \frac{\left[ 1 + \left( \frac{dy}{dx} \right)^2 \right]^{\frac{3}{2}}}{\frac{d^2y}{dx^2}} \quad \dots \dots (5)$$

d'où enfin

$$\frac{\frac{d^2y}{dx^2}}{\left[ 1 + \left( \frac{dy}{dx} \right)^2 \right]^{\frac{3}{2}}} = - \frac{M_z}{EIz} \quad \dots \dots (6)$$

où  $M_z$  représente la mesure algébrique du moment de flexion de la section  $S_2$  considérée dans ce calcul

Cette expression constitue l'équation différentielle qui admet pour solution  $y = f(x)$  représentant l'équation de la ligne élastique de la poutre considérée dans le repère  $(0, \vec{x}, \vec{y})$

## II-2 L'effet de l'effort tranchant

Cette équation ne tient compte que des déformations dues aux contraintes normales et nient pas compte des déformations dues à l'effort tranchant.

Il est couramment admis que la déformation élastique due à l'effort tranchant est toujours négligeable devant celle due au moment de flexion. Ceci n'est pas toujours vérifié, car si on considère le cas d'une poutrelle en I, on peut trouver une influence non négligeable

L'étude complète n'est pas le but du sujet. Nous donnerons à titre documentaire, quelque résultats sur l'importance comparative des déplacements élastiques dus à l'effort tranchant ( $y_T$ ) et de ceux dus au moment de flexion ( $y_m$ )

Considérons le cas d'une poutre de section rectangulaire constante est soumise à une charge uniformément répartie la poutre est supportée par deux appuis simples distants de  $L$  et admet une section de largeur  $b$  et d'hauteur  $h$

on trouve  $\frac{y_T}{y_m} = 2,4 \left( \frac{h}{L} \right)^2$

Cas de la même poutre mais avec une charge concentrée  $P$  appliquée au milieu de la poutre

on trouve  $\frac{y_T}{y_m} = 3 \left( \frac{h}{L} \right)^2$

$\frac{h}{L}$	$\frac{1}{12}$	$\frac{1}{10}$	$\frac{1}{8}$
$\frac{y_T}{y_m}$ charge répartie	0,017	0,024	0,087
charge concentrée	0,021	0,03	0,047

Tableau N° II-1 Cas d'une section rectangulaire

les résultats du Tableau n° II-1 montrent que dans le cas où la section est rectangulaire les déplacements élastiques dus à l'effort tranchant peuvent être négligés. Des calculs analogues effectués sur des poutres à section rectangulaire conduisent à la même conclusion.

Cas d'une poutre à section en I normalisée

Utilisant les mêmes notations que précédemment, on obtient

$$\frac{y_T}{y_M} = 4 \frac{h}{L}$$

	$h/L$	$\gamma_{12}$	$\gamma_{10}$	$\gamma_9$
$\frac{y_T}{y_M}$	charge répartie	0,167	0,200	0,250
	charge concentrée	0,33	0,400	0,500

Tableau II-2 Cas d'une section en I

on voit que les déplacements dus à l'effort tranchant sont loin d'être négligeables dans certains cas.

### II.-3 Utilisation de l'équation de la ligne élastique

Soit  $y = f(x)$  l'équation de la ligne élastique cherchée.

Dans le cas des petites déformations, le problème se résout en prenant en considération l'hypothèse que la courbure reste très petite.

En effet, dans les constructions métalliques une condition de déformation est souvent imposée avant toute condition de résistance.

Dans le cas on impose que la flèche maximale reste inférieure à  $\frac{1}{500}$  de la portée

$$y_{\max} < \frac{L}{500}$$

On en déduit que la ligne élastique d'une telle poutre est une courbe tendue. Par conséquent, la pente de la tangente reste très faible puisque la courbe est très petite.

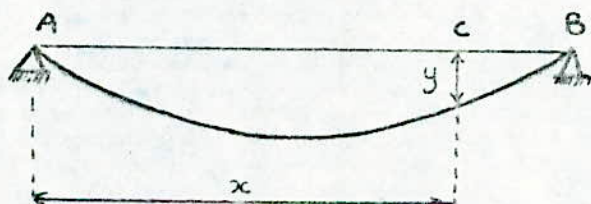


figure II-5 flèche après application des charges.

En c dans le figure II-1 on a  $\frac{dy}{dx} = \tan \theta$

Comme  $\theta$  est très petit :  $\tan \theta \approx \theta$  d'où  $\frac{dy}{dx} \approx \theta$

le terme  $\left[1 + \left(\frac{dy}{dx}\right)^2\right]^{\frac{3}{2}} = 1$  car  $\left(\frac{dy}{dx}\right)^2$  est négligeable devant 1.

d'où l'équation différentielle de la ligne élastique

$$\frac{d^2y}{dx^2} = - \frac{M_z}{EI_z} \quad \dots \dots (7)$$

## II-4 Méthode d'intégration de l'équation de la Ligne élastique

Intégrons l'équation (7) une première fois

$\frac{d^2y}{dx^2} = - \frac{M_z}{EI_z}$  avec  $M_z = Px$ . dans le cas d'une poutre encastrée chargée à l'extrémité

$$\frac{dy}{dx} = - \frac{Px^2}{EI_z} + C_1 \quad \dots \dots (8)$$

Utilisons la condition aux limites

$$\text{à } x=L ; \frac{dy}{dx} = 0 \rightarrow C_1 = \frac{PL^2}{2EI_z}$$

$$\text{d'où } \theta = \frac{dy}{dx} = - \frac{P}{EI_z} \frac{x^2}{2} + \frac{PL^2}{2EI_z} \quad \dots \dots (9)$$

Intégrons une deuxième fois et appliquons la deuxième condition aux limites à  $x = L ; y = 0$

$$y = -\frac{P}{EI_2} \frac{x^3}{6} + \frac{PL^2}{2EI_2} x + C_2$$

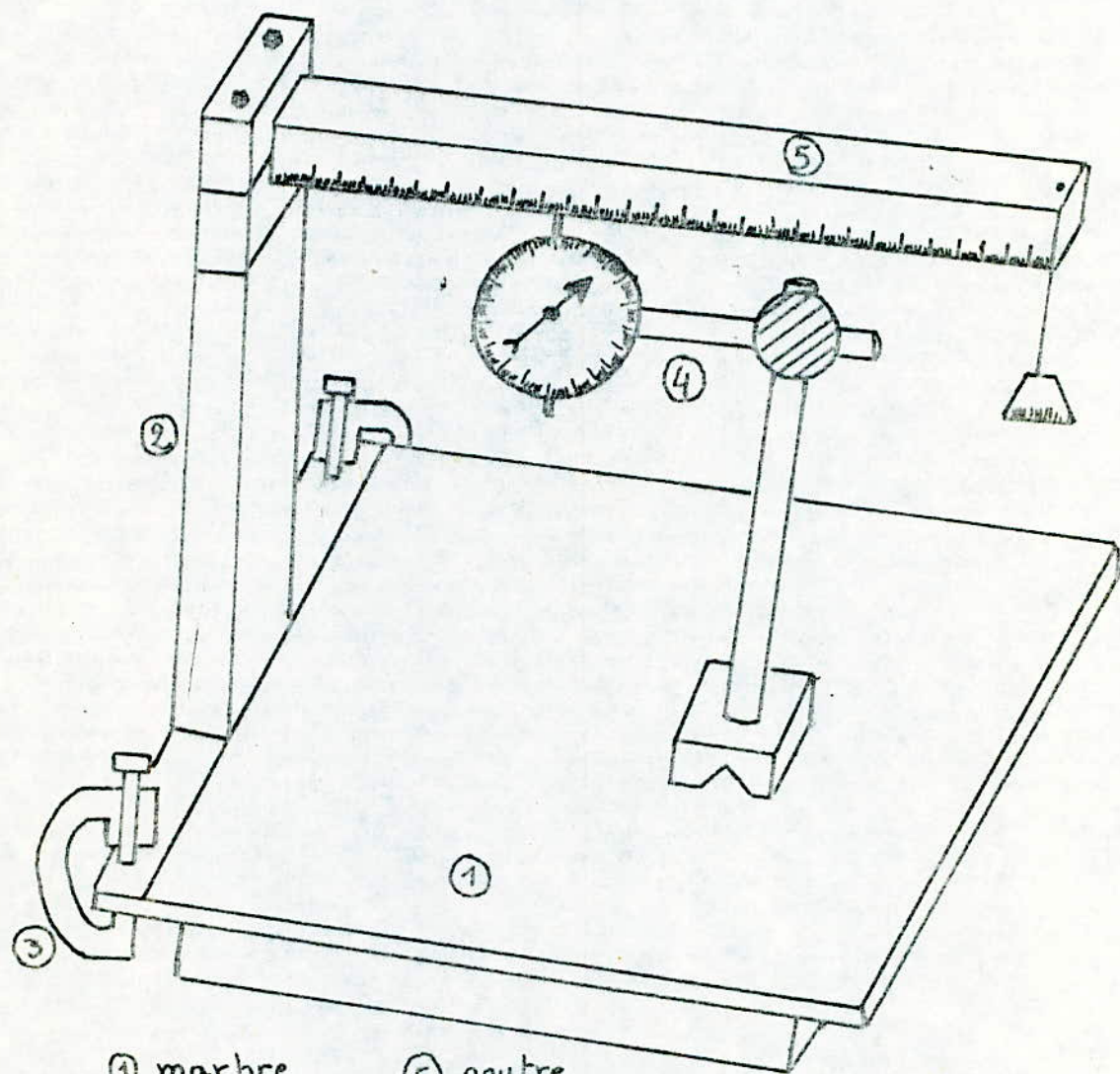
avec  $C_2 = \frac{PL^3}{6EI_2} - \frac{PL^3}{2EI_2} = -\frac{PL^3}{3EI_2}$

Finalement :

$$y = -\frac{P}{6EI_2} \left( x^3 - 3L^2x + 2L^3 \right) \quad \dots \quad (10)$$

### III. ETUDE EXPERIMENTALE DES PETITES DEFORMATIONS

#### III-1 Schema du banc d'essai



① marbre      ⑤ poutre

② support

③ presse

④ comparateur

### III - 2 Description du banc d'essai

le banc d'essai que nous avons réalisé se compose des éléments suivantes

- 1 - Un marbre plan  $300 \times 500$  qui sert de surface de référence sur laquelle coulisse horizontalement le comparateur il assure le parallelisme de la poutre à étudier.
- 2 - Un support formé d'une poutre en U 80 fixé rigidelement au marbre à l'aide de deux presses Armstrong. Ces presses servent d'une part à fixer le support sur le marbre, d'autre part permettent de régler la perpendicularité du support et du marbre
- 3 - L'enca斯特rement qui est formé de deux pièces rainurées comme le montre le dessin de la Figure ci-dessous.

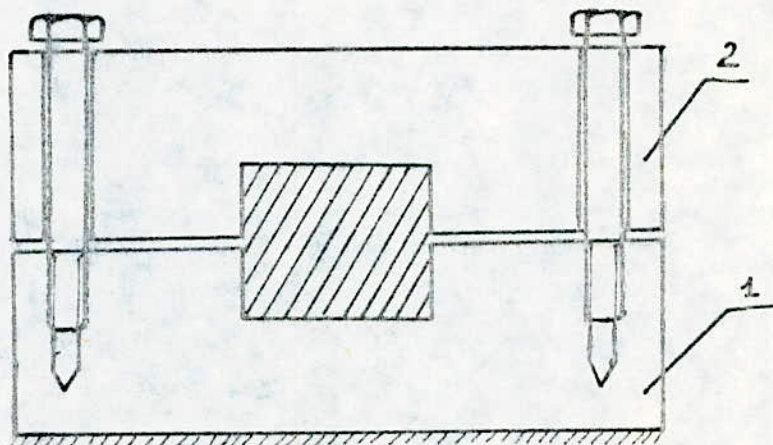


figure III-1 Schéma d'enca斯特rement

- L1
- Dans la Figure III-1 la pièce (1) est fixée sur le support rigidement par soudure  
la pièce (2) est assemblée avec la pièce (1) par deux vis M8 x 30
- Cette forme d'enca斯特ment sert :
- 1- à éliminer tous les degrés de liberté par le serrage
  - 2- le desserrage permet
    - de varier la longueur de la poutre
    - de changer la poutre par une autre
  - 3- Cette forme d'encastration nous permet d'atteindre le point Zéro c'est-à-dire le point correspondant à  $x=0$

### III - 3 Mode opératoire

On a relevé les mesures selon 2 méthodes :

#### 1- Relevé de mesures à l'aide d'un comparateur

- la poutre a subit des déformations pendant l'usinage
- les poutres étudiées sont légèrement inclinées par rapport à la surface de référence due à son propre poids
- la perpendicularité du support de la poutre par rapport à la surface de référence n'est pas parfaite.

Vu ces conditions, les mesures ont été effectuées point par point pour ce fait le comparateur est placé à différentes sections de la poutre : distante entre elles de 40 mm. Avant chaque mesure le comparateur est initialisé pour chaque cas de force, le même mode opératoire est répété.

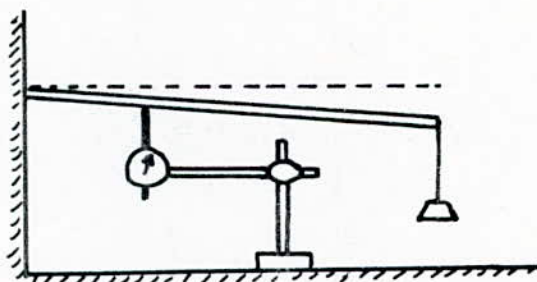


Figure III - 2 mesure par comparateur

## 2- Méthode directe

cette méthode permet de mesurer les déformations des poutres sans l'utilisation de comparateur ni d'autres appareils de mesure. Pour ce fait on a mis en place une nouvelle technique pratique qui consiste à :

a- Faire des trous de 1,5 mm de diamètre le long de la poutre distants entre eux de 40 mm

b- pour chaque essai on place une aiguille qu'on la déplace d'un trou à l'autre. Cette aiguille laisse une trace sur la feuille de papier fixée sur la plaque de plexiglas

c- à chaque mesure on initialise les traces de l'aiguille on mesurant la distance entre les points on obtient la flèche au point considéré.

Remarque :

Dans les deux méthodes on a utilisé des charges de l'ordre de 50 gf.

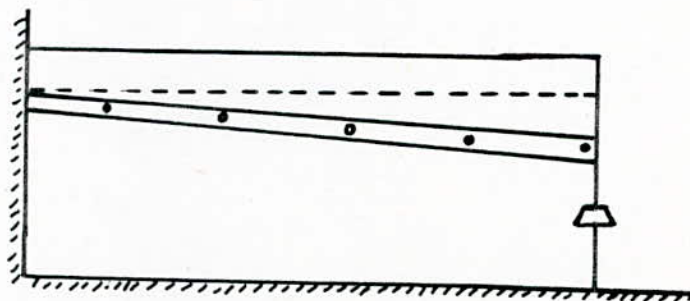


figure III - 3 mesure par méthode directe

Tableau N° 1      Résultats théoriques des déformées [mm]  
 Matériau : acier étiré

$\frac{P}{\chi}$ [kg/mm]	50	100	150	200	400	600	800	1000	2000	3000
40	0,001	0,0026	0,003	0,005	0,010	0,03	0,080	0,102	0,204	0,365
80	0,005	0,010	0,015	0,020	0,040	0,064	0,170	0,222	0,440	0,665
120	0,011	0,022	0,033	0,044	0,089	0,133	0,306	0,380	0,760	1,149
160	0,019	0,038	0,057	0,076	0,153	0,229	0,462	0,570	1,150	1,730
200	0,028	0,057	0,086	0,116	0,213	0,340	0,642	0,800	1,600	2,400
240	0,040	0,080	0,120	0,160	0,321	0,480	0,840	1,050	2,100	3,156
280	0,052	0,105	0,157	0,210	0,392	0,630	1,057	1,320	2,640	3,963
320	0,066	0,132	0,198	0,261	0,520	0,790	1,284	1,408	3,210	4,208
360	0,080	0,160	0,240	0,321	0,642	0,960	1,305	1,600	3,507	4,816
400	0,094	0,189	0,284	0,379	0,759	1,130	1,519	1,890	3,790	5,698
440	0,100	0,219	0,320	0,439	0,879	1,310	1,759	2,190	4,390	6,590

Tableau № 2

Materiau : acier étiré

Résultats expérimentaux des déformées [mm] / comparateur

$\frac{P[\text{kg}]}{x[\text{mm}]}$	50	100	150	200	400	600	800	1000
40	0,005	0,010	0,015	0,020	0,040	0,070	0,098	0,100
80	0,009	0,015	0,021	0,030	0,060	0,090	0,130	0,235
120	0,015	0,029	0,049	0,059	0,115	0,180	0,235	0,455
160	0,020	0,049	0,070	0,090	0,180	0,270	0,315	0,630
200	0,031	0,061	0,100	0,122	0,295	0,370	0,510	0,830
240	0,041	0,086	0,125	0,170	0,335	0,495	0,660	1,065
280	0,050	0,110	0,161	0,215	0,435	0,630	0,850	1,300
320	0,060	0,122	0,190	0,250	0,520	0,770	1,025	1,535
360	0,070	0,143	0,225	0,300	0,620	0,925	1,220	1,800
400	0,091	0,185	0,270	0,355	0,720	1,070	1,425	2,03
440	0,125	0,220	0,320	0,430	0,880	1,250	1,770	2,13

Tableau N° 3

Résultats théoriques des déformées [mm]

Matériau : acier doux

$x [mm]$	$P [kg]$	50	100	150	200	400	600	800	1000	2000	3000
40		0,001	0,025	0,004	0,006	0,010	0,015	0,020	0,025	0,030	0,100
80		0,005	0,009	0,014	0,019	0,039	0,059	0,079	0,099	0,105	0,160
120		0,0108	0,021	0,032	0,043	0,084	0,129	0,170	0,216	0,306	1,280
160		0,018	0,037	0,055	0,073	0,140	0,222	0,290	0,371	0,480	1,500
200		0,028	0,056	0,084	0,099	0,224	0,336	0,440	0,560	0,600	2,030
240		0,038	0,077	0,116	0,152	0,311	0,466	0,620	0,770	0,898	2,780
280		0,050	0,099	0,158	0,203	0,401	0,610	0,810	1,100	2,13	3,050
320		0,064	0,128	0,192	0,256	0,512	0,768	0,924	1,280	2,50	3,800
360		0,077	0,155	0,233	0,311	0,622	0,933	1,240	1,550	3,110	4,600
400		0,081	0,184	0,276	0,369	0,730	1,100	1,395	1,840	3,680	5,52
440		0,100	0,212	0,319	0,420	0,850	1,270	1,700	2,120	4,250	6,380

Tableau N° 4

Materiel : acier doux

Résultats expérimentaux des déformées [mm] / Comparateur

$\frac{P[\text{kg}]}{\chi[\text{mm}]}$	50	100	150	200	400	600	800	1000
40	0,003	0,01	0,015	0,020	0,040	0,085	0,105	0,140
80	0,009	0,020	0,025	0,040	0,070	0,110	0,130	0,170
120	0,015	0,030	0,040	0,065	0,115	0,180	0,250	0,300
160	0,020	0,050	0,070	0,095	0,190	0,280	0,375	0,460
200	0,035	0,065	0,095	0,130	0,270	0,400	0,530	0,655
240	0,040	0,085	0,130	0,175	0,350	0,520	0,700	0,870
280	0,052	0,100	0,165	0,220	0,451	0,660	0,871	1,100
320	0,061	0,140	0,205	0,270	0,545	0,810	1,095	1,355
360	0,072	0,160	0,245	0,315	0,645	0,95	1,285	1,610
400	0,10	0,180	0,285	0,385	0,725	1,14	1,500	1,880
440	0,12	0,220	0,320	0,450	0,920	1,41	1,810	2,160

Tableau N° 5 Resultats théoriques des déformées [mm]

Matière : Laiton

$\frac{P[\text{kg}]}{x[\text{mm}]}$	50	100	150	200	400	600	800	1000	2000	3000
40	0,002	0,004	0,006	0,009	0,018	0,027	0,034	0,045	0,091	0,197
80	0,008	0,017	0,026	0,035	0,070	0,100	0,141	0,170	0,350	1,050
120	0,019	0,038	0,057	0,076	0,150	0,230	0,307	0,380	0,760	1,870
160	0,032	0,065	0,098	0,130	0,260	0,390	0,720	0,650	1,310	2,970
200	0,049	0,099	0,140	0,190	0,390	0,590	0,797	0,990	1,990	3,700
240	0,069	0,138	0,204	0,270	0,590	0,840	1,090	1,380	2,760	4,140
280	0,090	0,181	0,270	0,360	0,820	1,050	1,440	1,810	3,620	5,430
320	0,113	0,227	0,341	0,450	1,080	1,360	1,820	2,270	5,520	6,820
360	0,138	0,276	0,414	0,550	1,380	1,650	2,210	2,760	6,570	8,290
400	0,163	0,327	0,490	0,650	1,360	1,970	2,610	3,270	6,970	9,810
440	0,180	0,378	0,567	0,750	1,51	2,270	3,028	3,780	7,570	11,35

Tableau № 6

Matière : Laiton

Résultats expérimentaux des déformées [mm] / comparateur

$P[\text{kgf}] \backslash x[\text{mm}]$	50	100	150	200	400	600	800	1000
40	0,007	0,013	0,020	0,055	0,070	0,150	0,020	0,250
80	0,009	0,030	0,049	0,060	0,098	0,180	0,024	0,568
120	0,015	0,060	0,135	0,0115	0,170	0,335	0,45	0,890
160	0,030	0,100	0,160	0,0180	0,265	0,535	0,71	1,260
200	0,040	0,130	0,190	0,261	0,390	0,765	1,020	1,710
240	0,060	0,150	0,250	0,360	0,515	1,030	1,380	2,215
280	0,070	0,200	0,330	0,440	0,670	1,320	1,760	2,730
320	0,092	0,260	0,410	0,545	0,820	1,640	2,190	3,280
360	0,110	0,320	0,490	0,655	0,990	1,970	2,620	3,890
400	0,160	0,390	0,520	0,765	1,17	2,295	3,080	4,03
440	0,180	0,402	0,575	0,940	1,365	2,80	3,650	4,300

Tableau N° 7

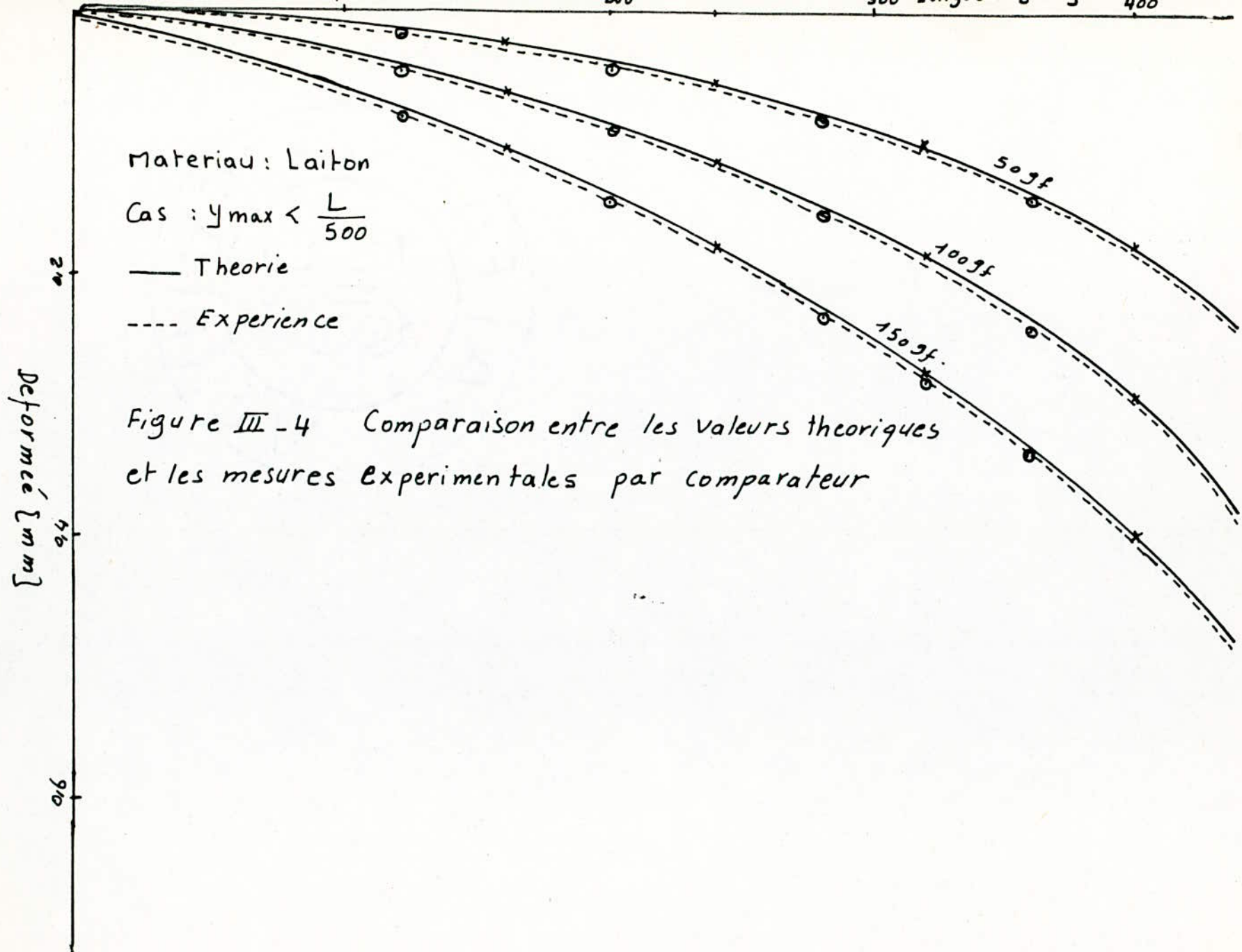
Résultats expérimentaux des déformées [mm] / méthode directe

		Acier doux			Laiton			Acier étiré			
$P$ [kg]	$x$ [mm]	50	100	150	50	100	150	50	100	150	
280	0,07	0,12	0,15		0,09	0,20	0,30		0,06	0,12	0,16
320	0,08	0,13	0,20		0,10	0,25	0,35		0,075	0,13	0,20
360	0,09	0,15	0,25		0,13	0,30	0,45		0,09	0,15	0,24
400	0,10	0,20	0,30		0,15	0,35	0,50		0,10	0,20	0,31
440	0,15	0,25	0,35		0,20	0,40	0,57		0,125	0,25	0,35

Tableau № 8

Résultats expérimentaux des déformées / méthode directe

	Acier doux			Laiton			Acier étiré		
P{gf} x[m]	1000	2000	3000	1000	2000	3000	1000	2000	3000
280	1,00	2,05	2,50	2,50	4,50	6,60	0,90	1,50	2,40
320	1,05	2,17	3,00	3,00	5,21	8,30	1,10	2,00	3,00
360	1,11	2,50	3,60	3,60	6,30	10,00	1,30	2,50	3,50
400	1,30	2,80	4,80	4,00	7,20	11,30	1,80	3,50	4,80
440	1,40	3,30	5,00	4,50	8,50	13,80	2,00	3,80	5,00



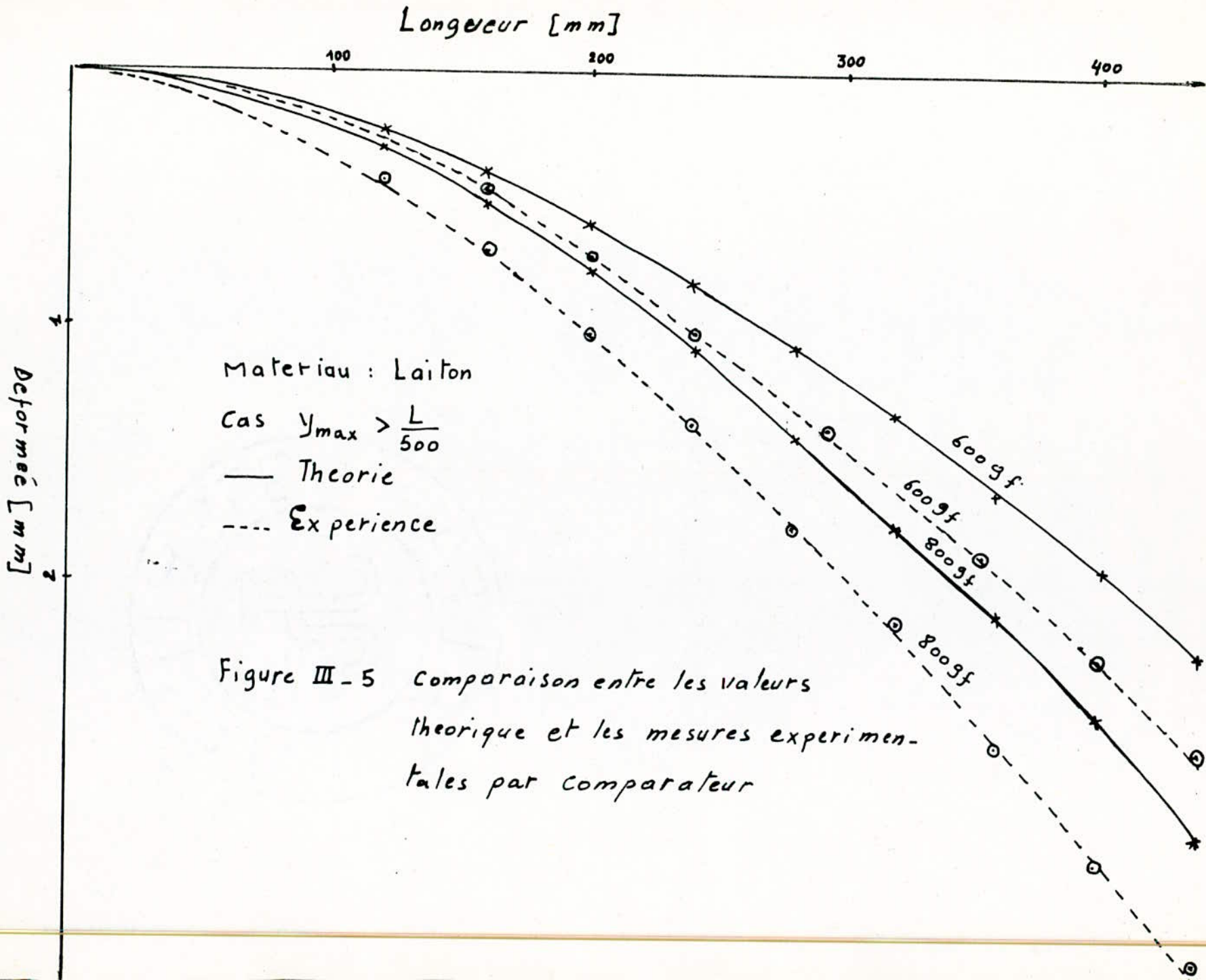
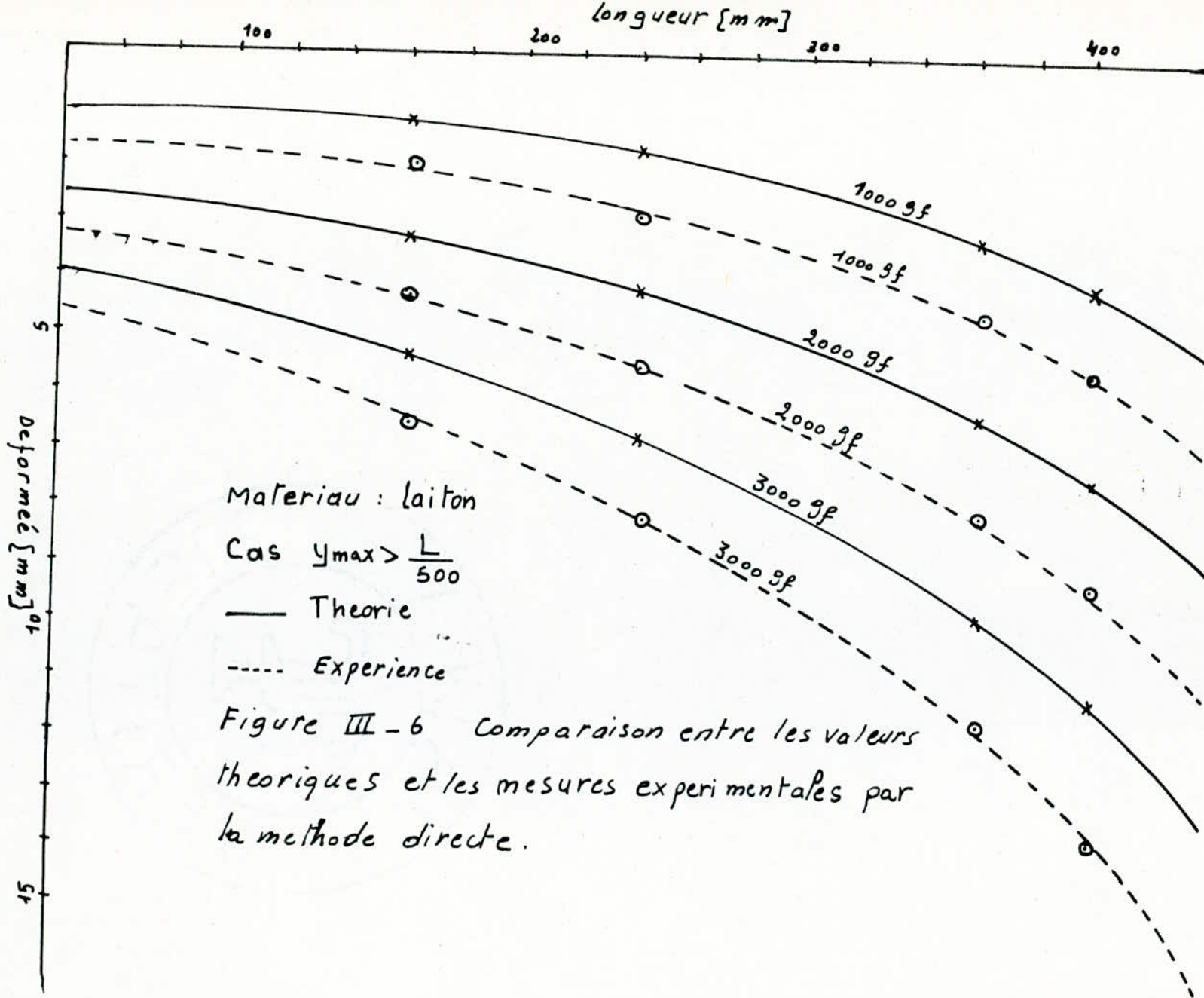
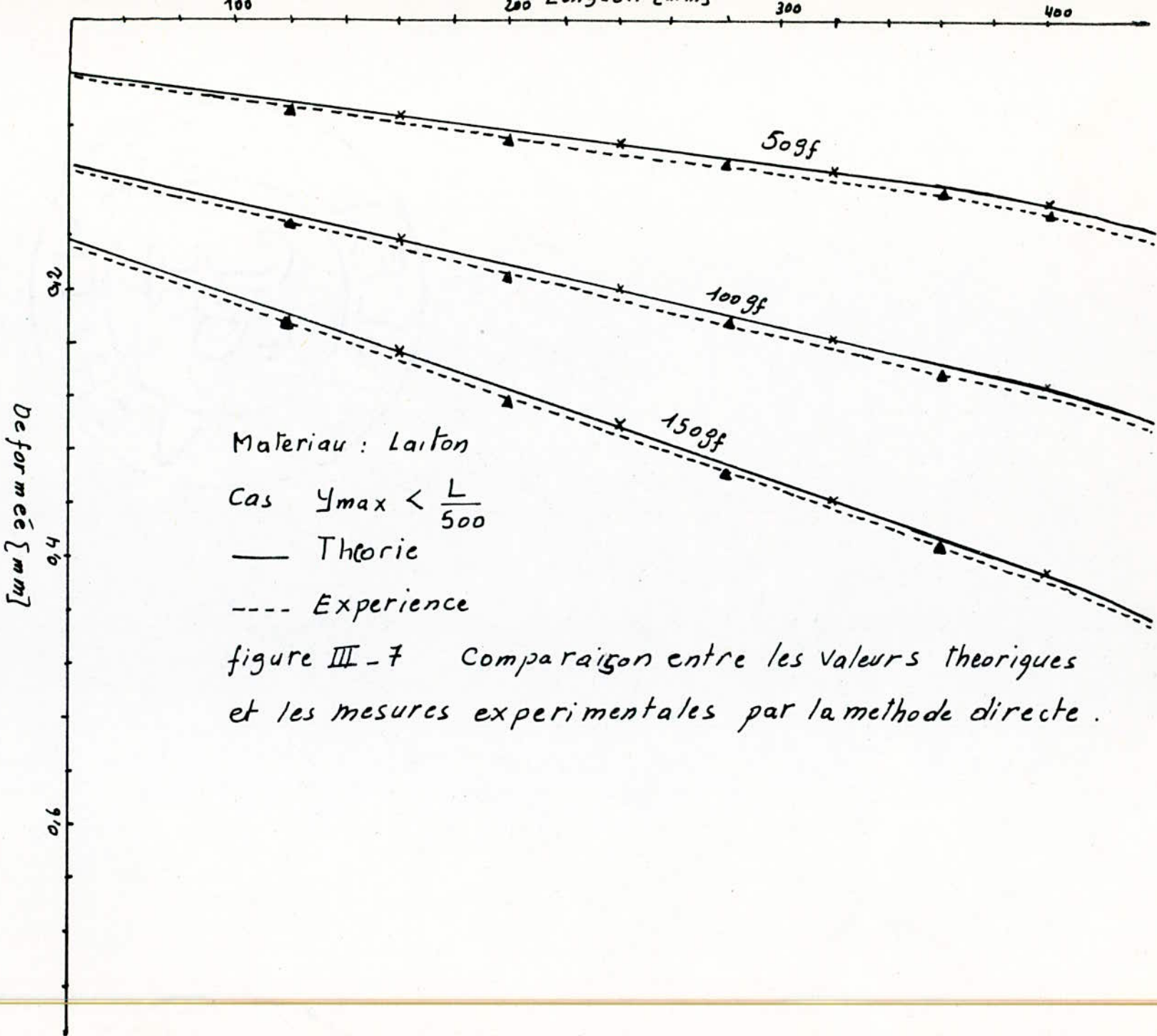
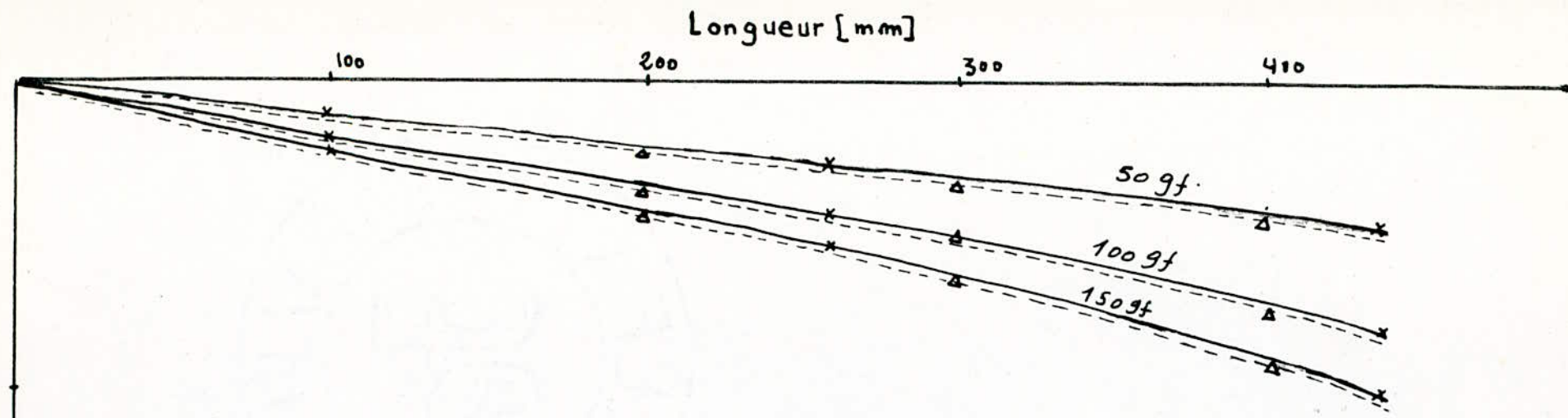


Figure III-5 comparaison entre les valeurs théorique et les mesures expérimentales par comparateur







Matériau : Acier doux

Cas  $y_{\max} < \frac{L}{500}$

— Théorie

- - - Expérience

Figure III-8 Comparaison entre les valeurs théoriques et les mesures expérimentales pour différentes charges par la méthode directe.

longueur {mm}

100

200

300

400

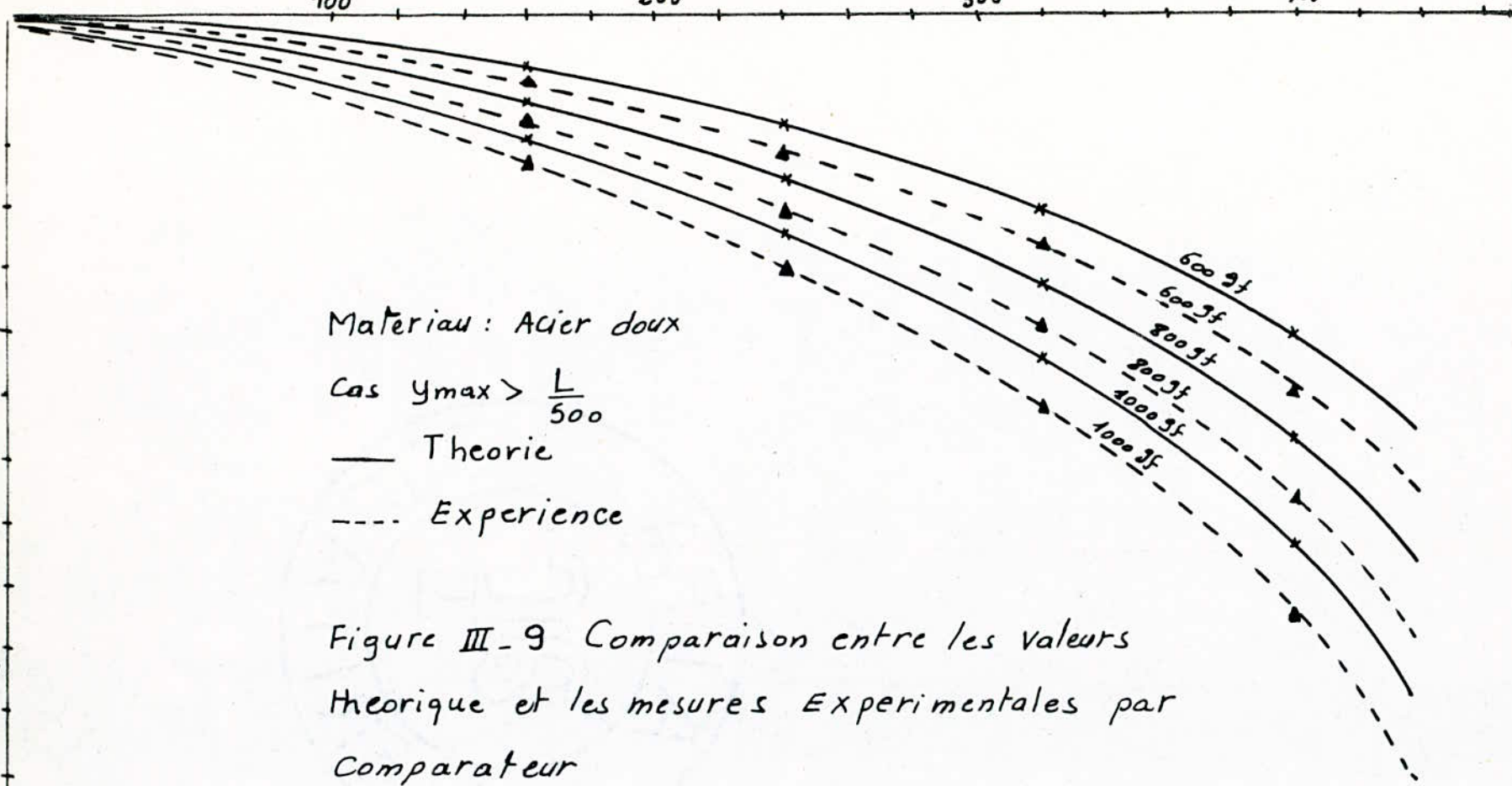
Materiel: Acier doux

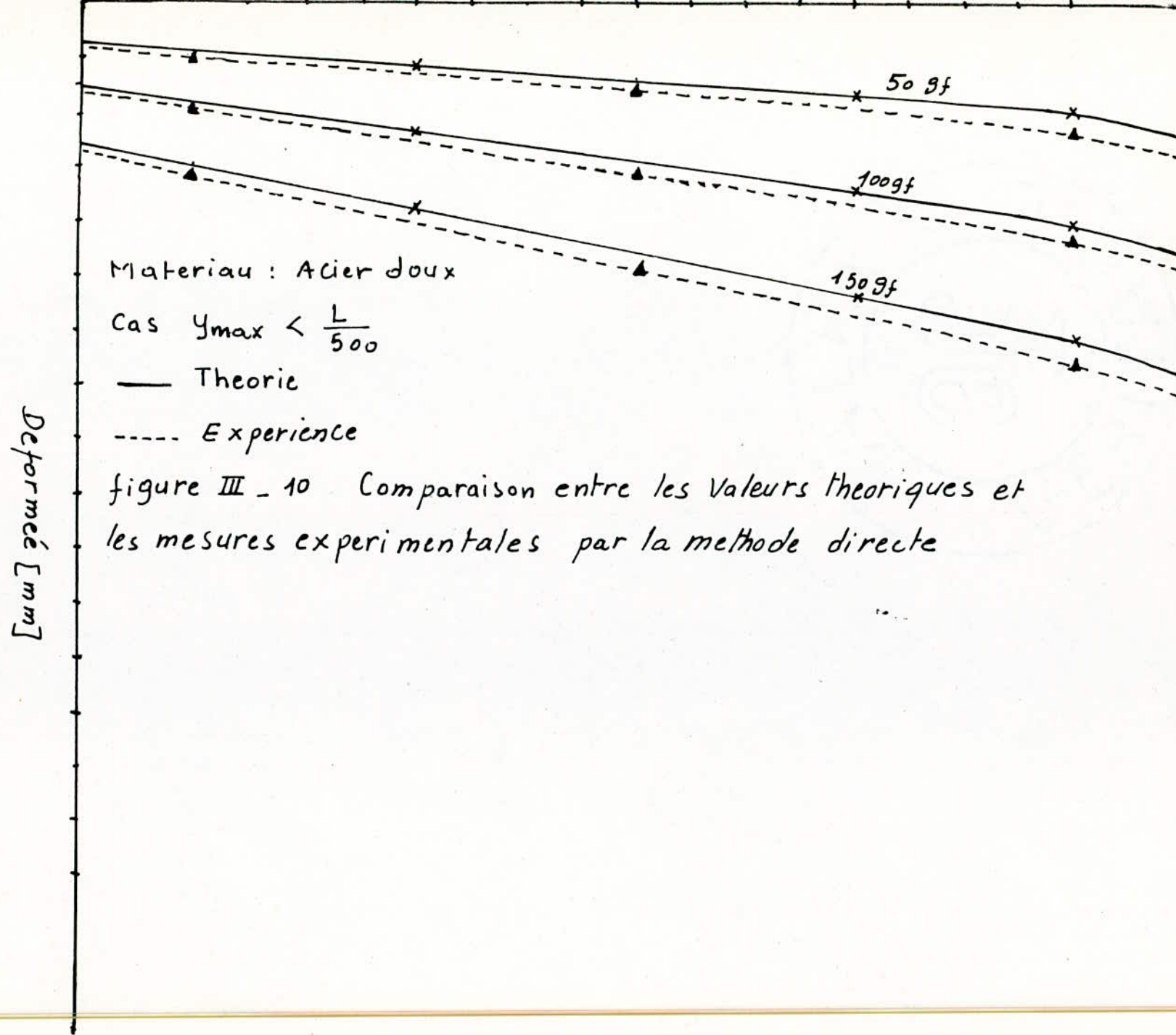
Cas  $y_{max} > \frac{L}{500}$

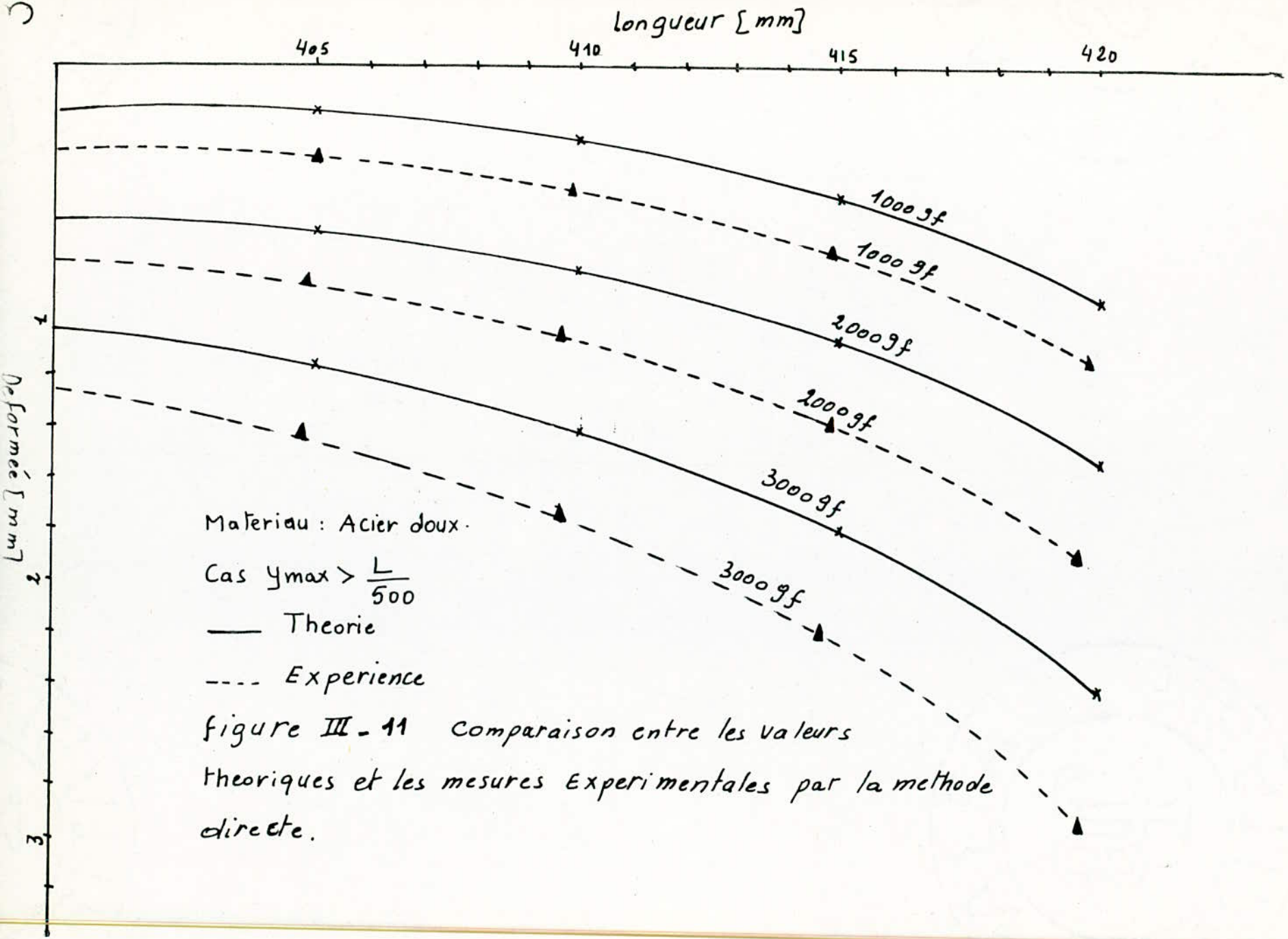
— Theorie

- - - Experience

Figure III-9 Comparaison entre les valeurs  
theorique et les mesures Experimentales par  
Comparateur







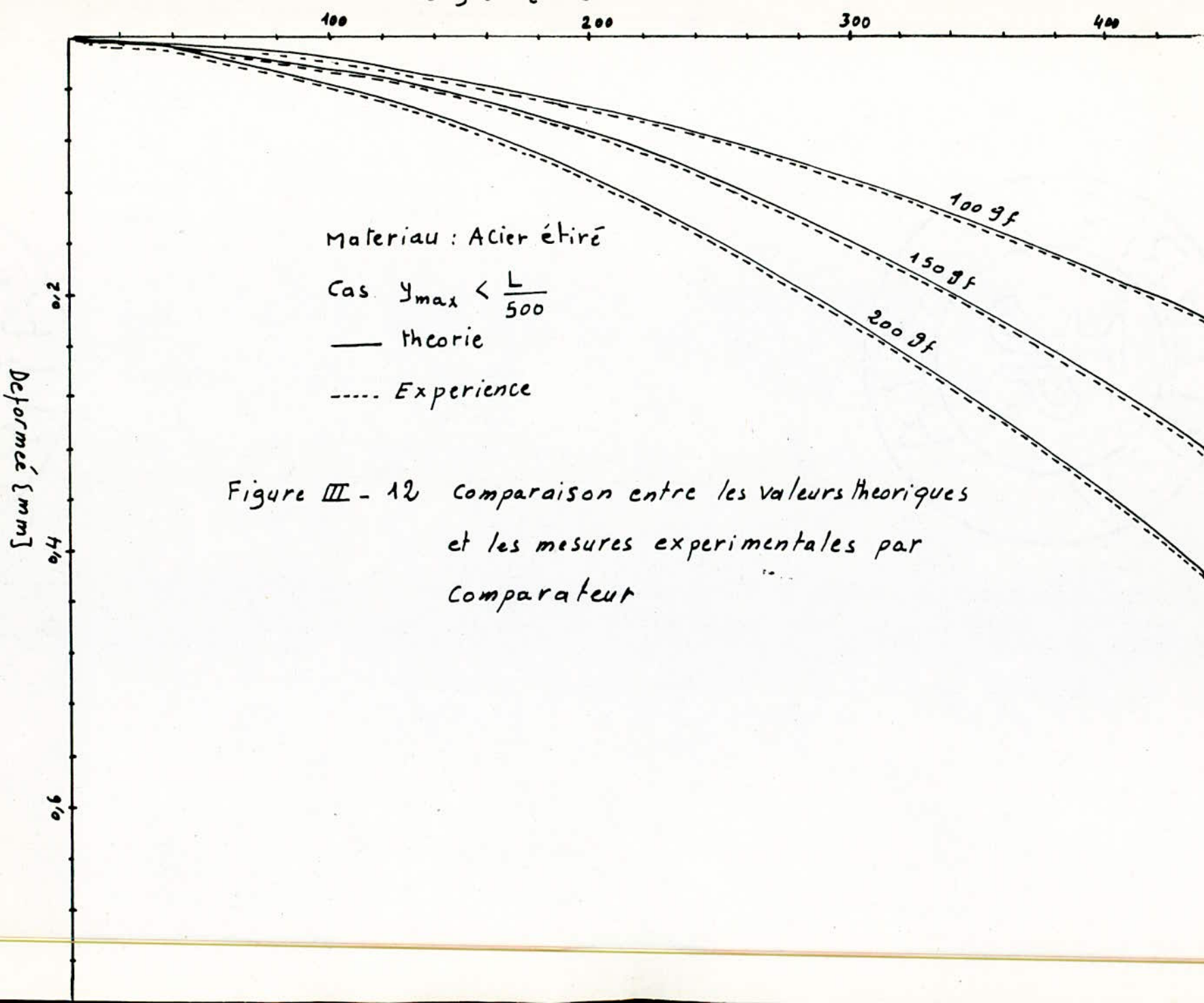
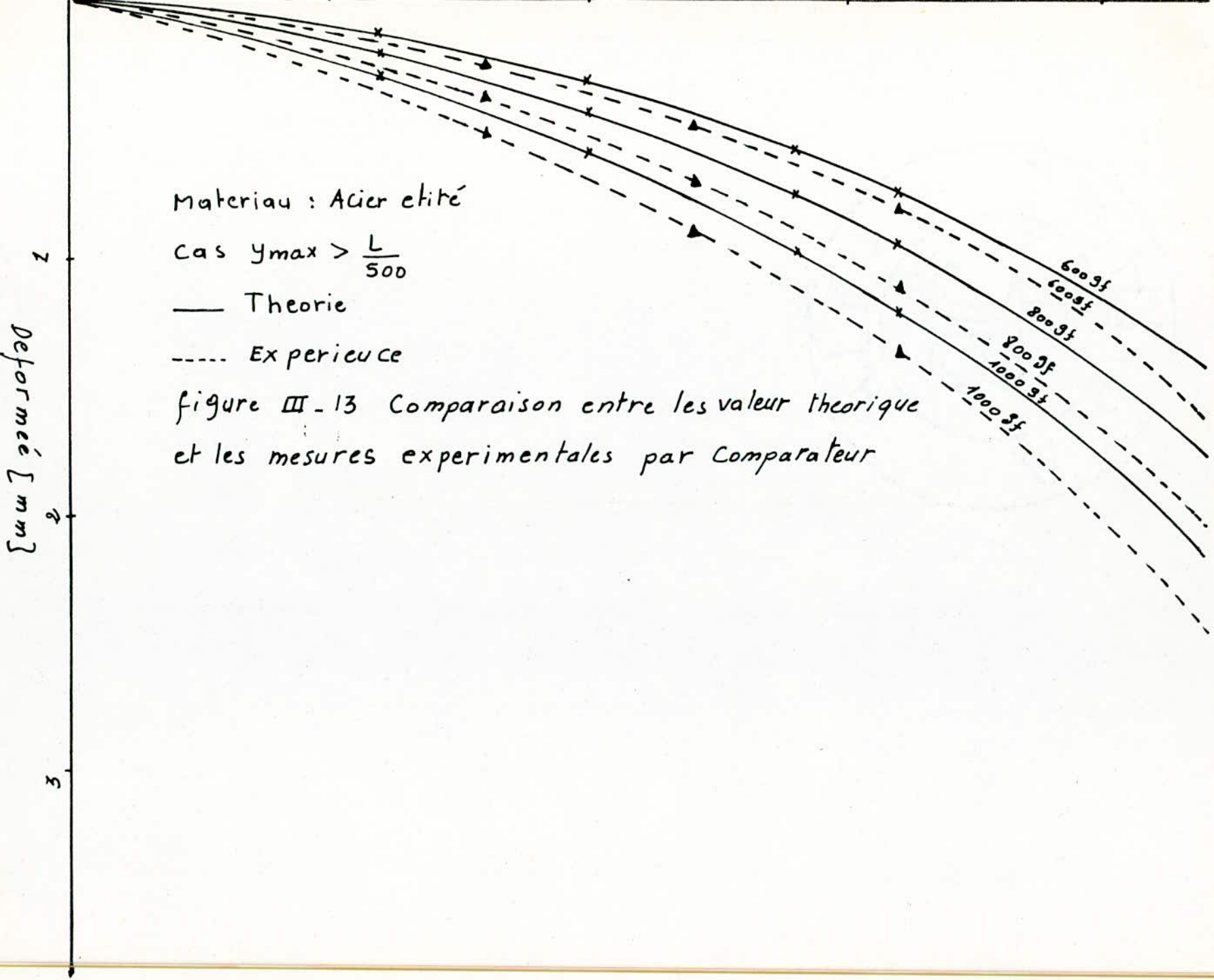
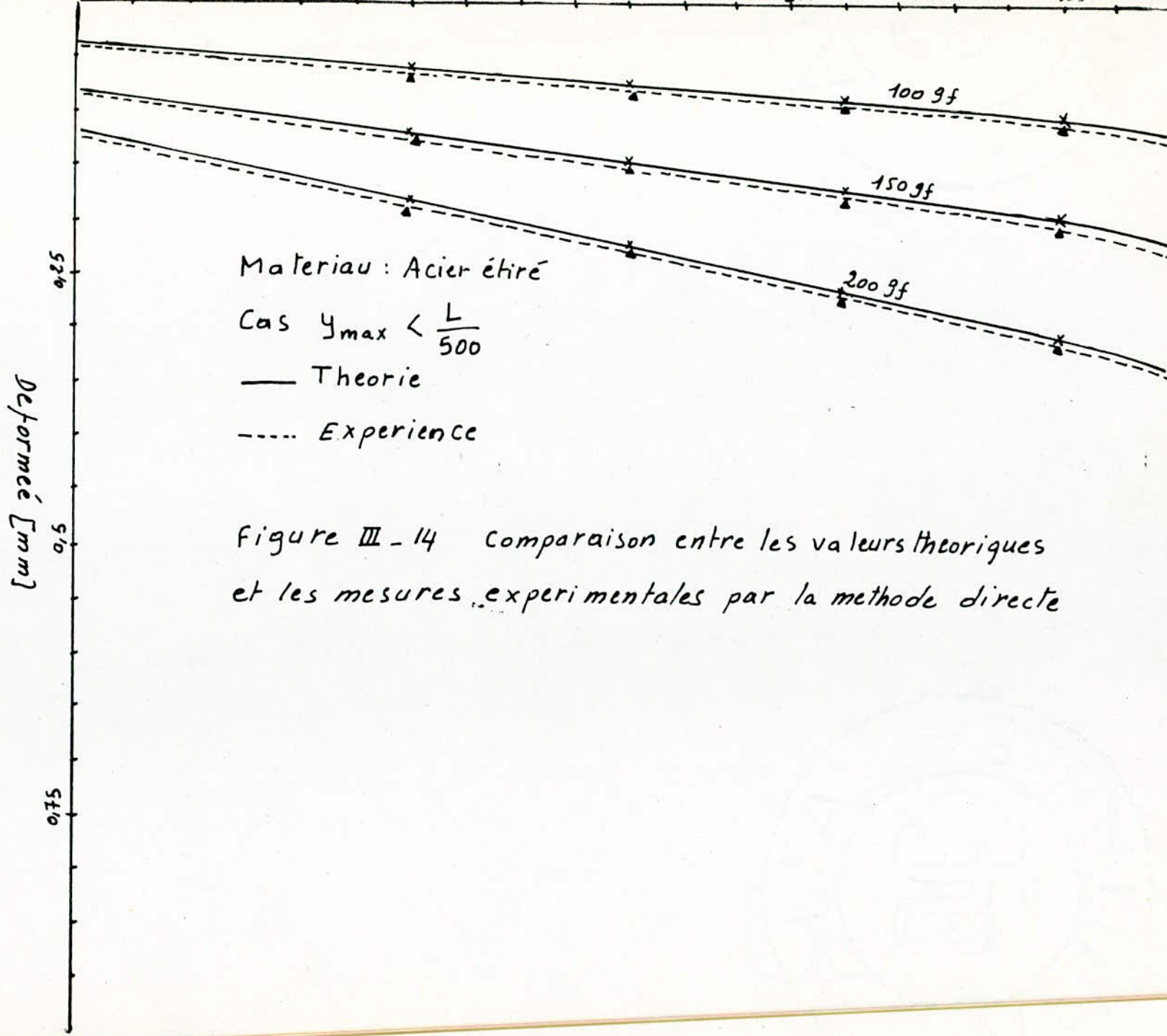
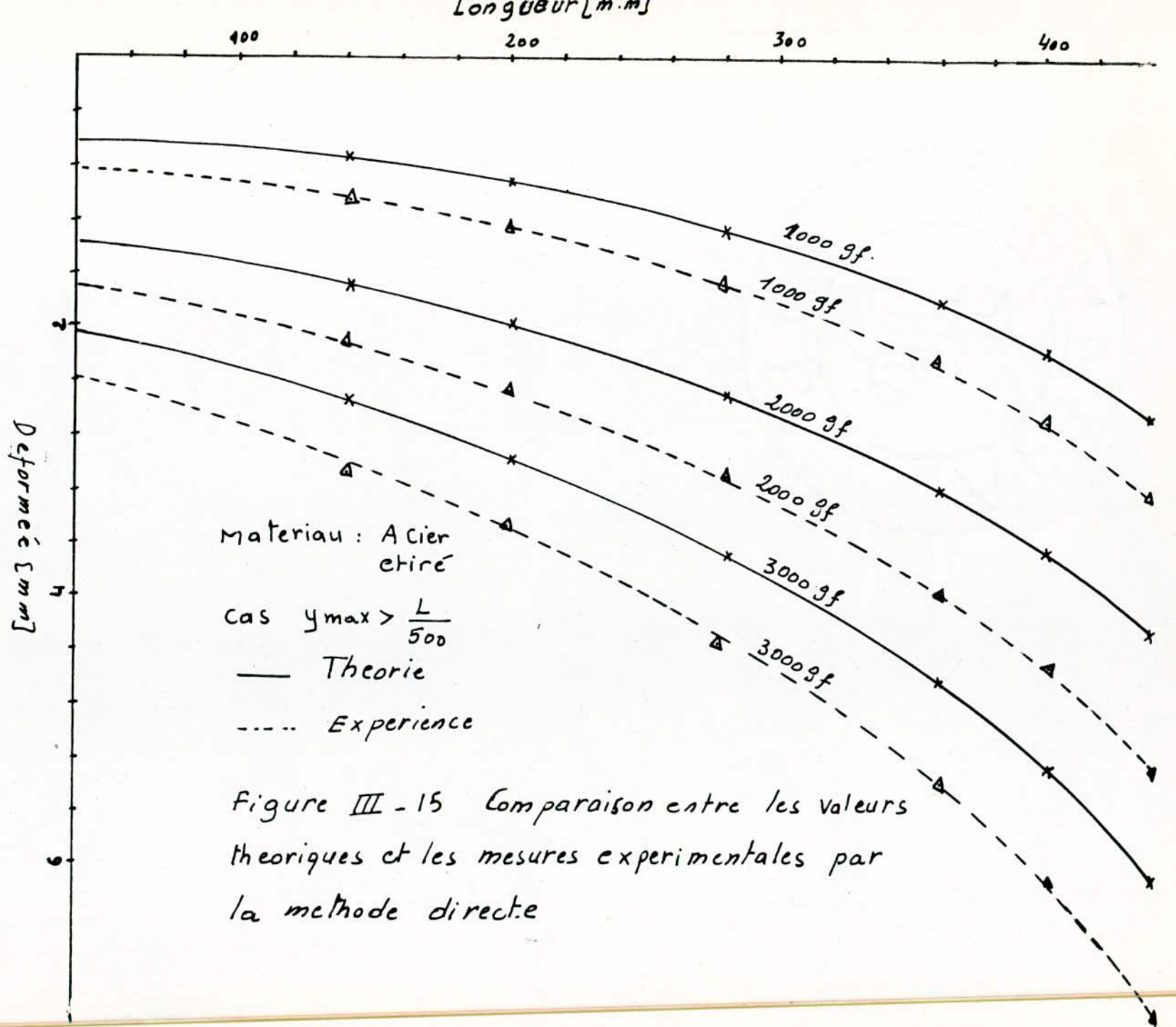


Figure III - 12 comparaison entre les valeurs théoriques  
et les mesures expérimentales par  
comparateur







### 4

### III-4 Commentaire des résultats

#### 1- Allure des courbes

On remarque, à partir des expériences faites que l'allure des courbes prend la forme envisagée quelque soit la charge appliquée à l'extrémité libre de la poutre.

Ce sont des courbes en  $X^3$  dont l'équation est de la forme

$$y = A(x^3 - 3xL^2 + 2L^3) \dots (1)$$

$A$  étant une constante directement proportionnelle à la charge appliquée et inversement proportionnelle au module d'élasticité et au moment d'inertie.  $A \sim \frac{P}{EI}$   
Le moment d'inertie ( $I = \frac{bh^3}{12}$ ) est une constante pour une section considérée, Par conséquent  $A$  varie seulement avec la charge  $P$  et le module d'élasticité  $E$ .

La théorie donne pour  $A$  l'expression.  $A = \frac{P}{6EIz} \dots (2)$

En fixant le module d'élasticité  $E$ , et en faisant varier la charge  $P$ , il a été observé que la pente augmente avec la charge. Ceci vérifie les prévisions théoriques.

En effet la pente de la courbe est théoriquement donnée par la relation

$$\operatorname{tg} \theta = \frac{dy}{dx} = \frac{P}{2EI_z} (x^2 - L^2) \dots (3)$$

L'équation (3) montre que  $\operatorname{tg} \theta$  est visiblement proportionnel à  $P$ .

## 2- Effet du module d'elasticité sur la flèche

- fixons cette fois ci la charge  $P$  et varions le module d'elasticité  $E$ . c'est-à-dire on considérera des poutres constituées de différents matériaux

L'expérience montre que plus on augmente le module d'elasticité  $E$ , plus la flèche diminue. Cette observation est plus accentuée lorsqu'il s'agit des flèches maximales

Par exemple, la flèche maximale pour le laiton  $E = 9000 \text{ daN/mm}^2$  est de l'ordre de  $0,38 \text{ mm}$  pour une charge de  $100 \text{ gf}$  tandis que pour l'acier  $E = 21000 \text{ daN/mm}^2$  la flèche est de l'ordre de  $0,22 \text{ mm}$  et ceci pour la même charge de  $100 \text{ gf}$ . Cette évidence est aussi en concordance avec la théorie (équation n° 2)

## 3- Etude comparative des résultats expérimentaux et théorique

### A- mesures par comparateur

Rappelons que pour les petites déformations, la condition de rigidité que doivent vérifier les poutres est:

$$y_{\max} < \frac{L}{500} \quad \text{où } L \text{ est la portée de la poutre}$$

pour vérifier l'importance de cette condition on procède comme suit :

$$1^{\circ} \text{ Cas : } Y_{\max} < \frac{L}{500}$$

Dans ce cas, les valeurs données par l'expérience et celles données par la théorie sont proches les unes des autres ce rapprochement étant dominant en milieu des barres et près de l'extrémité libre.

par exemple pour une charge  $P = 100 \text{ gf}$  on obtient le tableau de valeur suivant :

Mater- iau	laiton			acier doux			acier étiré		
$L$ [mm]	40	240	440	40	240	440	40	240	440
$y_{\text{ex}}$ [mm]	0,38	0,13	0,013	0,22	0,085	0,01	0,22	0,086	0,01
$y_{\text{th}}$ [mm]	0,378	0,138	0,007	0,212	0,077	0,0025	0,219	0,080	0,0026
$\frac{\Delta y}{y} \%$	0,53	6,15	42	3,64	9,41	75	0,45	6,97	74

Tableau III-1 Comparaison entre  $y_{\text{th}}$  et  $y_{\text{ex}}$ .

Nous voyons que l'erreur augmente de 0,53 à 42 % pour le laiton, de 3,64 à 75 % pour l'acier doux et de 0,45 à 74 % pour l'acier étiré

Dans les trois cas l'erreur relative est très grande au niveau de l'encaissement.

Ce ci n'est ni logique ni raisonnable parce que

41

au niveau de l'encastrément la mesure est exacte donc l'erreur relative est indéterminée mathématiquement on la prend physiquement égale à zéro

cette contradiction entre l'expérience et la théorie peut être interprétée par les points suivants

1- la rigidité particulière n'est pas parfaite entre la poutre et la console et entre la console et la surface de référence (marbre)

2- le matériel utilisé pour les mesures n'est pas précis

3- les erreurs de lecture dues à l'expérimentateur

2<sup>e</sup> cas :  $y_{\max} > \frac{L}{500}$

les courbes théoriques et expérimentales sont éloignées les unes des autres et ce devient plus remarquable lorsque le module d'élasticité diminue par exemple pour le cas du laiton

$P [gf]$	600	800	1000
$y_{\text{ex}} [\text{mm}]$	2,27	3,028	3,78
$y_{\text{th}} [\text{mm}]$	2,80	3,65	4,32
$\frac{\Delta y}{y} \%$	18,92	17,18	12,5

Tableau  
III-2

il est très remarquable que le pourcentage d'erreur supérieur à 10%

## B. Mesure par la méthode directe

$$1^{\circ} \text{ cas } y_{\max} < \frac{L}{500}$$

les valeurs données par l'expérience et celles données par la théorie sont proches les unes des autres. Ce rapprochement est dominant tout en rapprochant de l'encaissement mais l'erreur dans ce cas est plus grande que celle de l'expérience faite par le comparateur.

Le tableau III-3 ci-dessous donne un exemple de comparaison

Méthode	mesure par comparateur		méthode directe	
Mat.	taillon	acier doux	taillon	acier doux
$y_{th}$ [mm]	0,380	0,220	0,38	0,220
$y_{ex}$ [mm]	0,378	0,212	0,45	0,250
$\frac{\Delta y}{y} \%$	0,53	3,64	5	12

Tableau III-3

Comparaison entre mesure par comparateur et méthode directe.

$$2^{\circ} \text{ cas } y_{\max} > \frac{L}{500}$$

les courbes théoriques basées sur la méthode élémentaire et courbes expérimentales sont éloignées l'une des autres beaucoup plus que dans le cas de la méthode du comparateur cette méthode à l'avantage :

- de donner une bonne vérification pour la condition de rigidité - c'est-à-dire elle est valable seulement pour les petits déplacements
- de donner les déplacements axiaux de la poutre comme le montre sur la figure ci-dessous.

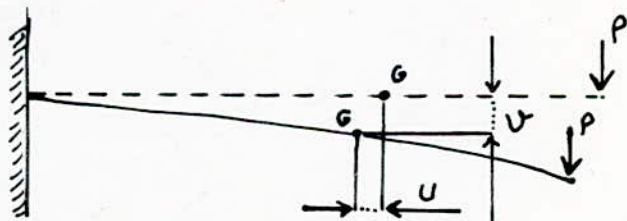


fig III - 16

## IV. ETUDE THEORIQUE DES GRANDES DEFORMATIONS

les méthodes générales pour l'étude des grandes déformations d'une poutre soumise à la flexion ne se fait pas partir des hypothèses des petites déformations.

En effet pour les grandes déformations, l'équation

$$\frac{\frac{d^2y}{dx^2}}{\left[1 + \left(\frac{dy}{dx}\right)^2\right]^{\frac{3}{2}}} = -\frac{M_z}{EI_z}$$

fait apparaître un terme non linéaire  $\left(\frac{dy}{dx}\right)^2$ . Alors que l'expression du moment de flexion doit être établie en tenant compte de tous les déplacements de la poutre

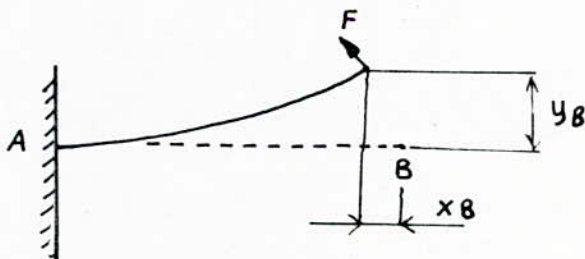


Figure IV-1 poutre soumise à des grandes déformations

On voit que la poutre dans la figure IV-1 admet un déplacement horizontale d'une quantité  $x_B$  quand la flèche  $y_B$  augmente.

Il en résulte que le moment de flexion le long de AB varie en fonction de  $x_B$ .

les problèmes de ce genre se rencontrent dans l'étude des ressorts spéciaux

## IV - 2 L'équation différentielle de la ligne élastique

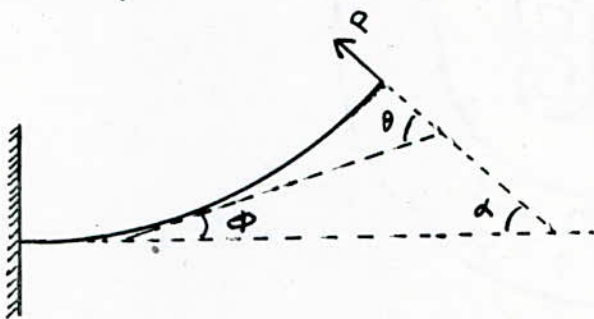


figure IV-2 poutre encastré soumise à des grandes déformations

hypothèses :

- 1- la poutre est horizontalement droite
- 2- les forces et les couples sont appliquées à l'extrémité libre

observons que  $\theta = \phi + \alpha$  figure IV-2

$$\text{donc } \frac{d\theta}{dx} = \frac{d\phi}{dx} + \frac{d\alpha}{dx}; \quad \frac{d\alpha}{dx} = 0$$

$$\frac{d\theta}{dx} = \frac{d\phi}{dx} \dots (1)$$

avec  $\alpha$ : c'est l'angle entre la ligne d'action de la force et l'horizontale

Donc pour une force donnée  $\alpha = \text{constante}$

$\theta$  : c'est l'angle entre la ligne d'action de la force et la tangente à la ligne neutre.

Donc  $\theta$  est une variable

$\phi$  : c'est l'angle entre la tangente à la ligne neutre et l'horizontale ;  $\phi$  est aussi une variable.

### VI - 2 - 1 Equation différentielle en $\theta$

- Equations d'équilibre

$$T = -P \sin \theta \quad \dots \dots (2)$$

$$N = -P \cos \theta \quad \dots \dots (3)$$

$$M = -\int \sigma_x y dy \quad \dots \dots (4)$$

avec  $y$  est la distance entre l'axe neutre et un point de la poutre.

les contraintes sont liées aux déformations par la loi de Hooke

$$\sigma_x = E \epsilon_{xx} \quad \dots \dots (5)$$

les déformations sont liées aux déplacements ( $\epsilon$ ) par la formule.

$$\epsilon_{xx} = \frac{\partial u}{\partial x} = y \frac{d\theta}{dx} \quad \dots \dots (6)$$

Substitutions (6) dans (5) on aura

$$\sigma_x = E y \frac{d\theta}{dx} \quad \dots \dots (7)$$

Substitutions (7) dans (4)

$$M = - \int E y^2 \left( \frac{d\theta}{dx} \right) dy = -E \frac{d\theta}{dx} \int y^2 dy$$

$$\int y^2 dy = I_z \Rightarrow -E I_z \frac{d\theta}{dx} \dots \dots (8)$$

Ecrivons la relation entre le moment et l'effort tangentiel

$$T = - \frac{dM}{dx} \dots \dots (9)$$

Meltons (2) et (8) dans (9)

$$-P \sin \theta = \frac{d}{dx} \left( EI \frac{d\theta}{dx} \right) = EI \frac{d^2\theta}{dx^2}$$

$$\frac{d^2\theta}{dx^2} + \frac{P}{EI} \sin \theta = 0 \dots \dots (10)$$

#### IV-2-2 Equation differentielle en $\phi$

Equations d'équilibre

$$T = -P \cos \phi \dots \dots (11)$$

$$T = - \frac{dM}{dx}$$

$$M = -EI \frac{d\phi}{dx} \dots \dots (12)$$

$$-P \cos \phi = EI \frac{d^2\phi}{dx^2}$$

$$\text{ou } \frac{d^2\phi}{dx^2} + \frac{P}{EI} \cos \phi = 0 \dots \dots (13)$$

L'équation (13) est une équation non linéaire décrivant les grandes déformations d'une poutre soumise à une force placée à l'extrémité libre avec les conditions initiales

$$x = 0 \quad \phi = 0$$

$$x = L \quad \frac{d\phi}{dx} = 0$$

L'équation différentielle avec ses conditions initiales peut être numériquement intégrée par la méthode de PICARD

pour des valeurs de  $x$  proches de  $x = x_0$  la valeur correspondante de  $y = g(x)$  est proche de  $y_0 = g(x_0)$  donc une première approximation  $y_1$  de  $y = g(x)$  est obtenue en remplaçant  $y$  par  $y_0$

$$y_1 = y_0 + \int_{x_0}^x f(x, x_0) dx$$

Une seconde approximation  $y_2$  est alors obtenue en remplaçant  $y$  par  $y_1$  dans le deuxième

$$y_2 = y_0 + \int_{x_0}^x f(x, x_0) dx$$

En répétant le procédé on obtient une suite de valeurs  $y_0, y_1, y_2, y_3, \dots$

chacune donnant une meilleure approximation de valeur cherché.

Appliquons la méthode de PICARD on pose  $\bar{x} = \frac{x}{L}$   
 avec  $L$  est la portée de la poutre

$$\text{donc } x = \bar{x}L \quad dx = L d\bar{x}$$

$$\frac{d\phi}{dx} = \frac{1}{L} \frac{d\phi}{d\bar{x}} ; \quad \frac{d^2\phi}{dx^2} = \frac{1}{L^2} \frac{d^2\phi}{d\bar{x}^2} \quad \dots \dots (14)$$

l'équation (13) devient :

$$\frac{1}{L^2} \frac{d^2\phi}{d\bar{x}^2} + \frac{P}{EI} \cos \phi = 0$$

$$\text{ou } \frac{d^2\phi}{d\bar{x}^2} + \bar{\alpha} \cos \phi = 0 \quad \dots \dots (15)$$

$$\text{avec } \bar{\alpha} = \frac{PL^2}{EI}.$$

les conditions initiales devient :

$$a) - \bar{x} = 0 \quad \phi = 0$$

$$b) - \bar{x} = 1 \quad \frac{d\phi}{dx} = 0$$

$$\frac{d^2\phi}{d\bar{x}^2} = -\bar{\alpha} \cos \phi$$

$$\text{Posons } \phi_0 = 0 \Rightarrow \frac{d^2\phi_1}{d\bar{x}^2} = -\bar{\alpha} [\cos \phi_0] = -\bar{\alpha}$$

Intégrons une fois

$$\frac{d\phi_1}{d\bar{x}} = -\bar{\alpha} [\bar{x} + A]$$

$$\text{utilisons la condition initiale (b) } \bar{x}=1 \quad \frac{d\phi}{d\bar{x}} = 0 \\ 0 = -\bar{\alpha} [\bar{x} + A] \Rightarrow A = -1$$

$$\text{donc } \frac{d\phi_1}{d\bar{x}} = -\bar{\alpha} [\bar{x} - 1]$$

Intégrons une deuxième fois

$$\phi_1 = -\bar{\alpha} \left[ \frac{\bar{x}^2}{2} - \bar{x} + B \right]$$

$$\text{à } \bar{x} = 0; \phi_1 = 0 \Rightarrow 0 = -\bar{\alpha} [B_1] \Rightarrow B = 0$$

finalement;

$$\phi_1 = -\bar{\alpha} \left[ \frac{\bar{x}^2}{2} - \bar{x} \right] \quad \dots \quad (16)$$

Revenons à l'équation différentielle (2<sup>e</sup> itération)

$$\frac{d^2\phi_2}{d\bar{x}^2} = -\bar{\alpha} \cos \phi_1 = -\bar{\alpha} \cos \left[ -\bar{\alpha} \left( \frac{\bar{x}^2}{2} - \bar{x} \right) \right]$$

$$\frac{d^2\phi_2}{d\bar{x}^2} = +\bar{\alpha} \cos \left[ +\bar{\alpha} \left( \frac{\bar{x}^2}{2} - \bar{x} \right) \right]$$

développons  $\cos \left[ \bar{\alpha} \left( \frac{\bar{x}^2}{2} - \bar{x} \right) \right]$  en série de Taylor

$$\cos x = \cos x_0 + (x - x_0) \left( -\frac{\sin x_0}{1!} \right) + (x - x_0)^2 \left( -\frac{\cos x_0}{2!} \right)$$

$$\text{donc pour } x_0 = 0 \text{ et } \bar{\alpha} \left( \frac{\bar{x}^2}{2} - \bar{x} \right) = x$$

on obtient.

$$\cos \left[ \bar{\alpha} \left( \frac{\bar{x}^2}{2} - \bar{x} \right) \right]_{\bar{x}=0} = 1 - \left[ \bar{\alpha} \left( \frac{\bar{x}^2}{2} - \bar{x} \right) \right]^2 \frac{1}{2}$$

$$\cos \left[ \bar{\alpha} \left( \frac{\bar{x}^2}{2} - \bar{x} \right) \right]_{\bar{x}=0} = 1 - \frac{1}{2} \bar{\alpha}^2 \left( \frac{\bar{x}^4}{4} - \bar{x}^3 + \bar{x}^2 \right)$$

$$\frac{d^2\phi_2}{dx^2} = -\bar{\alpha} \left\{ 1 - \frac{1}{2} \bar{\alpha}^2 \left[ \frac{\bar{x}^4}{4} - \bar{x}^3 + \bar{x}^2 \right] \right\}$$

Intégrons une fois

$$\frac{d\phi_2}{dx} = -\bar{\alpha} \left\{ \bar{x} - \frac{1}{2} \bar{\alpha}^2 \left[ \frac{\bar{x}^5}{20} - \frac{\bar{x}^4}{4} + \frac{\bar{x}^3}{3} \right] + A_2 \right\}$$

Appliquons la condition initiale  $\bar{x} = 1 \quad \frac{d\phi_2}{dx} = 0$

$$\text{on obtient } A_2 = -1 + \frac{\bar{\alpha}^2}{15}.$$

Intégrons une deuxième fois

$$\phi_2 = \frac{\bar{\alpha}^3}{240} \bar{x}^6 - \frac{\bar{\alpha}^3}{40} \bar{x}^5 + \frac{\bar{\alpha}^3}{24} \bar{x}^4 - \frac{\bar{\alpha}}{2} \bar{x}^2 + \left( \alpha - \frac{\bar{\alpha}^3}{15} \right) \bar{x} + B$$

Appliquons la condition initiale  $\bar{x} = 0 \quad \phi_2 = 0$

$$\text{on obtient } B = 0$$

finalement :

$$\phi_2 = \frac{\bar{\alpha}^3}{240} \bar{x}^6 - \frac{\bar{\alpha}^3}{40} \bar{x}^5 + \frac{\bar{\alpha}^3}{24} \bar{x}^4 - \frac{\bar{\alpha}}{2} \bar{x}^2 + \left( \bar{\alpha} - \frac{\bar{\alpha}^3}{15} \right) \bar{x} \dots$$

## IV-2 Détermination des déplacements verticaux ( $v$ ) et horizontaux

Divisons la poutre en plusieurs intervalles (disons  $N$ )

voir figure IV-3

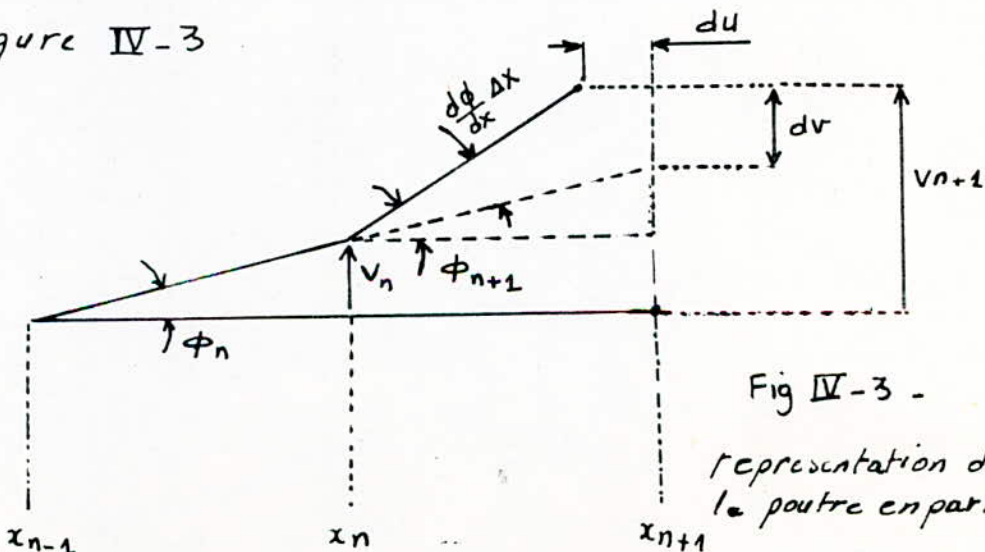


Fig IV-3 -

représentation de la poutre en parties

Donc on a :

$$\phi_{n+1} = \phi_n + \frac{d\phi}{dx} \Delta x \quad \dots \dots \quad (18)$$

$$v_{n+1} = v_n + \frac{dv}{dx} \Delta x \quad \dots \dots \quad (19)$$

$$u_{n+1} = u_n + \frac{du}{dx} \Delta x \quad \dots \dots \quad (20)$$

D'autre part

$$\frac{dv}{dx} = \sin \left[ \phi_n + \frac{d\phi}{dx} \Delta x \right] = \sin \phi_{n+1}$$

Donc

$$v_{n+1} = v_n + \Delta x \sin \phi_{n+1} \quad \dots \dots \quad (21)$$

$$\frac{d\bar{u}}{dx} = \cos \left( \phi_n + \frac{d\phi}{dx} \Delta x \right) = \cos \phi_{n+1} \dots (22)$$

$$d\bar{u} = dx + du \Rightarrow \frac{d\bar{u}}{dx} = \frac{dx + du}{dx} = 1 + \frac{du}{dx} \dots (23)$$

De (23) et (22) on aura

$$\frac{du}{dx} = -1 + \cos \phi_{n+1}$$

Donc

$$u_{n+1} = u_n + \Delta x (-1 + \cos \phi_{n+1}) \quad \dots \dots \quad (24)$$

## V. ETUDE EXPERIMENTALE DES GRANDES DEFORMATIONS

### V-1 Mode opératoire

on a relevé les résultats selon une méthode applicable pour le cas des poutres flexibles soumises à des grandes déformations.

Sur une plaque de plexiglas on place une feuille de papier millimétré sur laquelle lit directement les déplacements transversaux et longitudinaux correspondants aux sections préalablement choisies de la poutre en faisant varier les charges on obtient le tableau de mesure N° 10

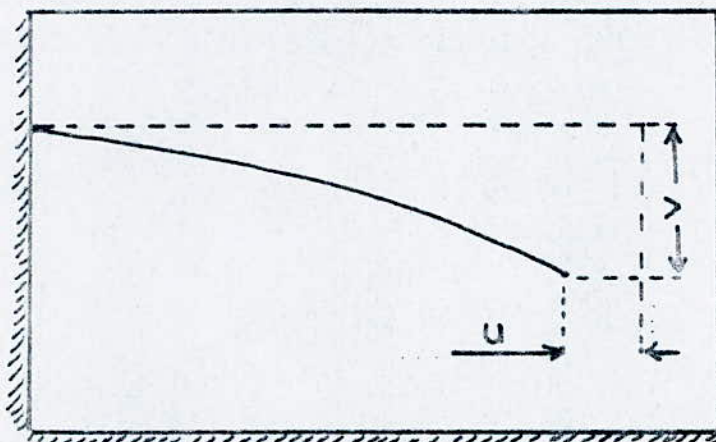


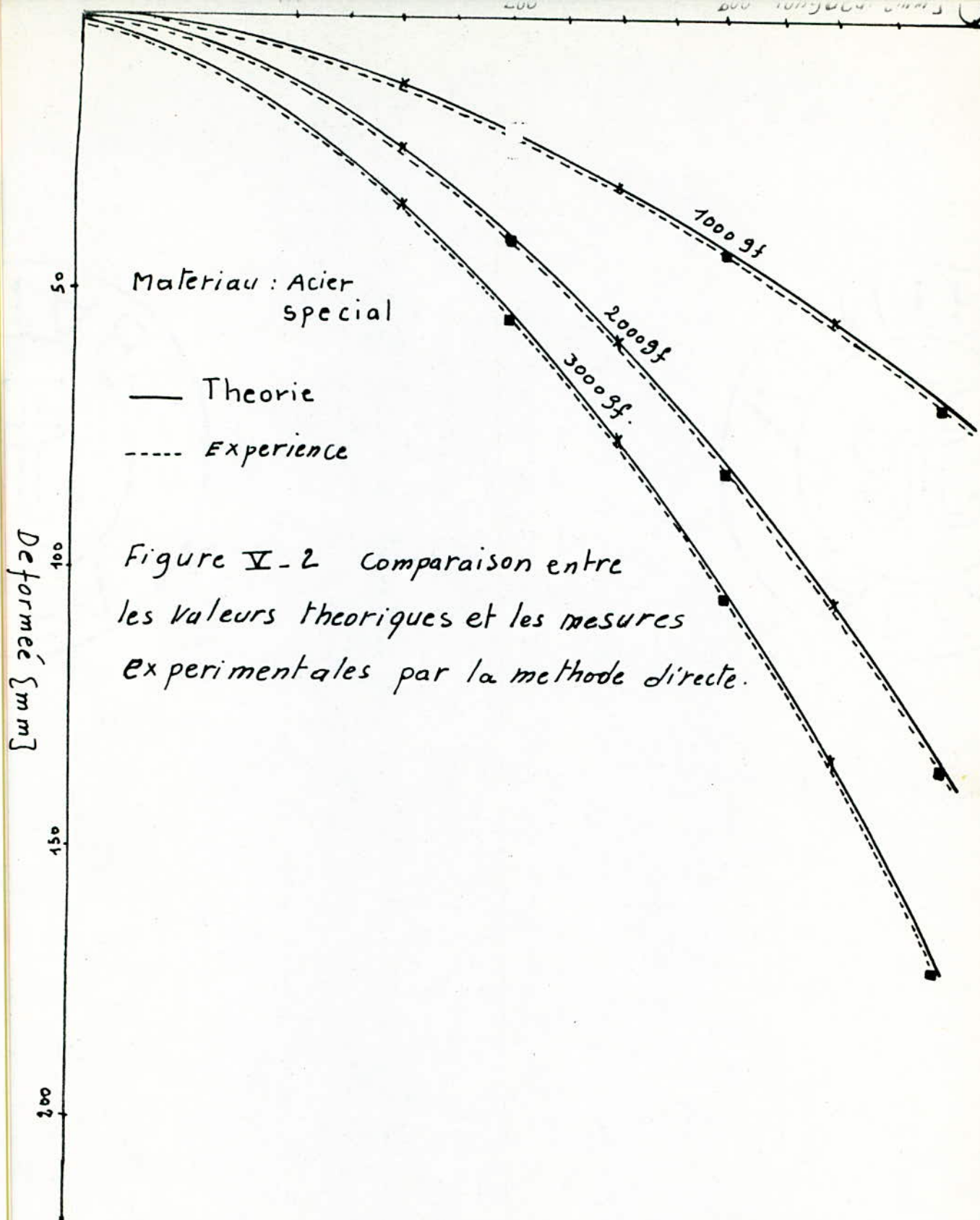
Figure V-1 poutre soumise en grande déformations

Tableau N° 9 : Résultats théorique des deforées  
 Matériau : Acier Special

1000 gf		2000 gf		3000 gf.	
U [mm]	V [mm]	U [mm]	V [mm]	U [mm]	V [mm]
5,28	59,3	18,89	111,06	34,92	149,3
4,45	51,58	15,94	96,70	29,50	130,25
3,63	43,9	13,94	82,45	24,21	111,32
2,85	36,42	10,26	68,53	19,14	92,79
2,14	29,25	7,71	55,17	14,45	74,94
1,51	22,50	5,47	42,58	10,30	58,42
0,98	16,36	3,58	31,01	6,78	42,45
0,57	10,89	2,09	20,71	3,98	28,47
0,27	6,26	1,01	11,93	1,94	16,46
0,091	2,58	0,33	4,93	0,60	6,84

Tableau N°10 Résultats expérimentaux des déformées.  
Matériau : Acier Special.

1000 gf		2000 gf		3000 gf.	
U [mm]	V [mm]	U [mm]	V [mm]	U [mm]	V [mm]
5,44	59,99	19,40	112,50	35,61	150,70
4,59	52,36	16,40	97,90	30,12	131,49
3,74	44,57	13,40	83,50	24,70	112,40
2,92	36,97	10,50	69,50	19,53	93,70
2,20	29,69	7,90	55,90	14,75	75,69
1,56	22,86	5,60	43,15	19,51	58,60
1,00	16,61	3,70	31,40	6,92	42,80
0,59	11,06	2,15	20,99	4,07	28,70
0,28	6,35	1,00	12,09	1,99	16,60
0,094	2,62	0,34	5,00	0,66	6,91.



## IV-2 Commentaire des résultats.

les valeurs données par l'expérience et celle données par la théorie sont proches les unes des autres.

Ce rapprochement est remarquable pour n'importe quelle charge.

et ceci devient très visiblement lorsque on calcule l'erreur pour des différentes valeurs.

Tableau IV-1 Vérification d'erreur.

charges [kg]	1000			2 000			3 000		
$x$ [mm]	400	200	40	400	200	40	400	200	40
$U_{th}$	5,28	1,51	0,091	18,89	5,47	0,93	34,92	10,30	0,60
$U_{ex}$	5,44	1,56	0,094	19,40	5,60	0,34	35,60	10,51	0,66
$\frac{\Delta U}{U} \%$	2,9	3,2	3,1	2,6	2,3	2,9	1,9	1,29	9
$V_{th}$	59,3	22,5	2,58	111,06	42,58	4,93	149,3	58,42	6,84
$V_{ex}$	59,99	22,86	2,62	111,50	43,15	5,00	150,7	58,60	6,91
$\frac{\Delta V}{V} \%$	1,1	1,15	1,5	0,39	1,3	2	0,9	0,3	1

Il est clair que l'erreur est inférieur à 10% dans tous

## CONCLUSION

Une étude expérimentale a été faite pour les petites et grandes déformations des poutres de matériaux différents. La loi linéaire était très satisfaisante pour la prediction des petites déformations. Il a été constaté que ces lois ne peuvent en aucun cas prévoir les résultats des grandes déformations. Pour cela, l'équation différentielle non linéaire a été numériquement intégrée - les résultats ainsi obtenus prévoient convenablement les mesures expérimentales avec une erreur relative inférieure à 10%.

# BIBLIOGRAPHIE

1. Résistance des matériaux - Sollicitations simples  
J.-P. LARRALDE
2. Resistance des matériaux théorique et expérimentale  
R. L'HERMITE
3. Resistance des matériaux  
M. KERGUIGNAS  
G. Gaignaert
4. Resistance des matériaux  
S. TIMOSHENKO
5. Théorie et applications des équations différentielles  
FRANK. AYRES. JR
6. Analyse numérique  
FRANCIS SCHEID

=====  
CALCUL DE DEFORMEE D'UNE POUTRE EN PETITE DEFORMATIONS  
POUTRE ENCATREE CHARGEES A L'EXTREMITE  
=====

PRINT\*, 'DONNER LA VALEUR DU CHARGEMENT EN DAN'  
ACCEPT\*,P

PRINT\*, 'DONNER LA VALEUR DE L EN MM'  
ACCEPT\*,L

PRINT\*, 'DONNER LA VALEUR DE IZ EN MM\*\*4'  
ACCEPT\*,YIZ

PRINT\*, 'DONNER LA VALEUR DE E EN DAN/MM\*\*4'  
ACCEPT\*,E

PRINT\*, 'DONNER LA VALEUR DE N'

ACCEPT\*,N

N:NOMBRE DE POINTS OU S'EFFECTUE LA MESURE

H: VARIATION DE X

H=L/N

DO 10 I=0,N

X=0

X=X+I\*H

Y=P\*((X\*\*3)-(3\*X\*X\*L\*L)+2\*L\*L\*\*3)/(6\*E\*YIZ)

PRINT\*, 'X=' ,X, 'Y=' ,Y

CONTINUE

END

```

=====
===== CALCUL DE LA DEFORMEE D'UNE POUTRE EN GRANDES DEFORMATIONS =====
=====

DIMENSION U(20),V(20)
PRINT*, 'DONNER LA VALEUR DU CHARGEMENT EN DAN'
ACCEPT*,P
PRINT*, 'DONNER LA VALEUR DE E EN DAN/MM**2'
ACCEPT*,E
PRINT*, 'DONNER LA VALEUR DE L EN MM'
ACCEPT*,YL
PRINT*, 'DONNER LA VALEUR DE IZ EN MM**4'
ACCEPT*,ZI
PRINT*, 'DONNER LA VALEUR DE N'
ACCEPT*,N
H=YL/N
I=1
U(I)=0
V(I)=0
DO 10 I=2,N
N=N+1
X=I*H
Z=X/YL
A=P*YL**2/(E*ZI)
=====

      PHI1 PREMIERE ITERATION
=====

PHI=-A*(Z**2/2-Z)
=====

      PHI2 DEUXIEME ITERATION
=====

PHI=A**3*(Z**6/240-Z**5/40+Z**4/24-Z/15)+A*(-Z**2/2+Z)
PHI=(D*180)/3.14
F=COS(PHI)
U(I)=U(I-1)+H*(-1+COS(PHI))
V(I)=V(I-1)+H*SIN(PHI)
PRINT*, 'PHI=' ,PHI,      'U(I)=' ,U(I),           'V(I)=' ,V(I)
CONTINUE
END

```

